

Ganzzahlige Optimierung

Minikurs im Cluster Intelligent Systems for Decision Support

Winfried Hochstättler

Diskrete Mathematik und Optimierung
FernUniversität in Hagen

16. Juni 2009

Outline I

Grundbegriffe

- Ganzzahlige Optimierungsaufgaben
- Beispiele kombinatorischer IPs
- Alternative Modellierungen

Gutartige Probleme

- Das Assignment Problem
- Total unimodulare Matrizen
- Nichtbipartites Matching
- Weitere gutartige Probleme

Outline II

NP und pseudopolynomielle Probleme

Entscheidungsprobleme

Warum Probleme in \mathcal{NP} nicht a priori schwer sind

Pseudopolynomielle Probleme

Facetten jagen

Facetten \mathcal{NP} -vollständiger Probleme

Schnittebenenverfahren

Kombinatorische Schnitte

Branch and Cut

Branch and Price and Cut

Outline

Grundbegriffe

Ganzzahlige Optimierungsaufgaben

Beispiele kombinatorischer IPs

Alternative Modellierungen

Gutartige Probleme

Das Assignment Problem

Total unimodulare Matrizen

Nichtbipartites Matching

Weitere gutartige Probleme

Ganzzahlige Optimierungsaufgabe

Seien $A \in \mathbb{Z}^{m \times n}$, $G \in \mathbb{Z}^{m \times r}$, $b \in \mathbb{Z}^m$, $c \in \mathbb{Z}^n$, $h \in \mathbb{Z}^r$. Ein

Ganzzahlige Optimierungsaufgabe

Seien $A \in \mathbb{Z}^{m \times n}$, $G \in \mathbb{Z}^{m \times r}$, $b \in \mathbb{Z}^m$, $c \in \mathbb{Z}^n$, $h \in \mathbb{Z}^r$. Ein **gemischt ganzzahliges Programm** in Standardform hat die Gestalt

$$\begin{array}{ll}
 \max & c^\top x + h^\top y \\
 (MIP) & Ax + Gy = b \\
 & x \in \mathbb{Z}_+^n, y \geq 0,
 \end{array}$$

Ganzzahlige Optimierungsaufgabe

Seien $A \in \mathbb{Z}^{m \times n}$, $G \in \mathbb{Z}^{m \times r}$, $b \in \mathbb{Z}^m$, $c \in \mathbb{Z}^n$, $h \in \mathbb{Z}^r$. Ein **gemischt ganzzahliges Programm** in Standardform hat die Gestalt

$$\begin{array}{ll}
 (MIP) & \max \quad c^\top x + h^\top y \\
 & Ax + Gy = b \\
 & x \in \mathbb{Z}_+^n, y \geq 0,
 \end{array}$$

ganzzahliges Programm

$$\begin{array}{ll}
 (IP) & \max \quad c^\top x \\
 & Ax = b \\
 & x \in \mathbb{Z}_+^n,
 \end{array}$$

Ganzzahlige Optimierungsaufgabe

Seien $A \in \mathbb{Z}^{m \times n}$, $G \in \mathbb{Z}^{m \times r}$, $b \in \mathbb{Z}^m$, $c \in \mathbb{Z}^n$, $h \in \mathbb{Z}^r$. Ein **gemischt ganzzahliges Programm** in Standardform hat die Gestalt

$$(MIP) \quad \begin{array}{ll} \max & c^\top x + h^\top y \\ & Ax + Gy = b \\ & x \in \mathbb{Z}_+^n, y \geq 0, \end{array}$$

ganzzahliges Programm

$$(IP) \quad \begin{array}{ll} \max & c^\top x \\ & Ax = b \\ & x \in \mathbb{Z}_+^n, \end{array}$$

boolsches Programm

$$(BIP) \quad \begin{array}{ll} \max & c^\top x \\ & Ax = b \\ & x \in \{0, 1\}^n. \end{array}$$

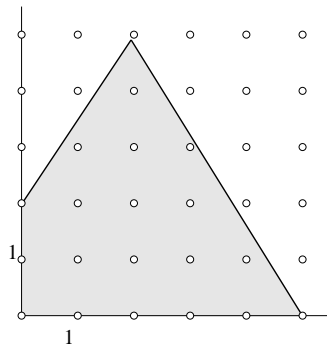


Ergebnisse des Linearen Programms runden?

$$\begin{array}{rcll} \max & 100x_1 & +64x_2 & \\ & 50x_1 & +31x_2 & \leq 250 \\ & -3x_1 & +2x_2 & \leq 4 \\ & & x_1, x_2 & \in \mathbb{Z}_+. \end{array}$$

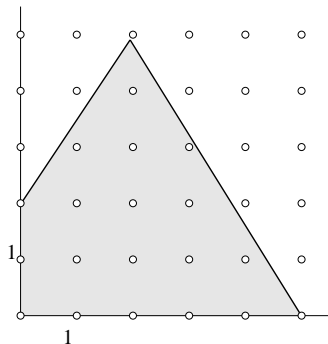
Ergebnisse des Linearen Programms runden?

$$\begin{array}{rcll}
 \max & 100x_1 & +64x_2 & \\
 & 50x_1 & +31x_2 & \leq 250 \\
 & -3x_1 & +2x_2 & \leq 4 \\
 & x_1, x_2 & \in & \mathbb{Z}_+.
 \end{array}$$



Ergebnisse des Linearen Programms runden?

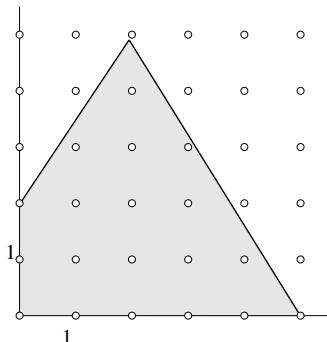
$$\begin{array}{rcll}
 \max & 100x_1 & +64x_2 & \\
 & 50x_1 & +31x_2 & \leq 250 \\
 & -3x_1 & +2x_2 & \leq 4 \\
 & x_1, x_2 & \in & \mathbb{Z}_+.
 \end{array}$$



Optimallösung ohne Ganzzahligkeitsbedingung $(\frac{376}{193}, \frac{950}{193})$.

Ergebnisse des Linearen Programms runden?

$$\begin{array}{rcll}
 \max & 100x_1 & +64x_2 & \\
 & 50x_1 & +31x_2 & \leq 250 \\
 & -3x_1 & +2x_2 & \leq 4 \\
 & x_1, x_2 & \in & \mathbb{Z}_+.
 \end{array}$$

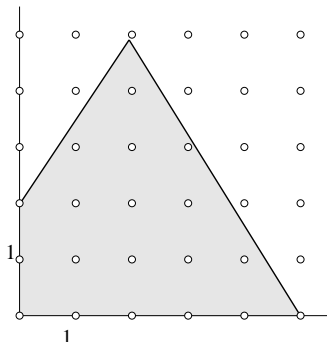


Optimallösung ohne Ganzzahligkeitsbedingung $(\frac{376}{193}, \frac{950}{193})$.

Optimallösung des IP ist $(5, 0)$ mit ZFW 500.

Ergebnisse des Linearen Programms runden?

$$\begin{array}{rcll}
 \max & 100x_1 & +64x_2 & \\
 & 50x_1 & +31x_2 & \leq 250 \\
 & -3x_1 & +2x_2 & \leq 4 \\
 & x_1, x_2 & \in & \mathbb{Z}_+.
 \end{array}$$



Optimallösung ohne Ganzzahligkeitsbedingung $(\frac{376}{193}, \frac{950}{193})$.

Optimallösung des IP ist $(5, 0)$ mit ZFW 500.

Mittels Runden $(2, 4)$ mit ZFW 456, 10% unter Optimalwert.

Outline

Grundbegriffe

Ganzzahlige Optimierungsaufgaben

Beispiele kombinatorischer IPs

Alternative Modellierungen

Gutartige Probleme

Das Assignment Problem

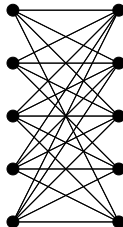
Total unimodulare Matrizen

Nichtbipartites Matching

Weitere gutartige Probleme

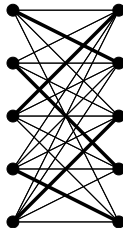
Das Zuweisungsproblem – Assignment Problem

Gegeben n **Arbeitnehmer** und n **Arbeitsplätze**. Besetzung von Arbeitsplatz j durch Arbeitnehmer i bringt Nutzen $c_{ij} \geq 0$. Maximiere den Gesamtnutzen.



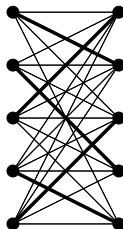
Das Zuweisungsproblem – Assignment Problem

Gegeben n **Arbeitnehmer** und n **Arbeitsplätze**. Besetzung von Arbeitsplatz j durch Arbeitnehmer i bringt Nutzen $c_{ij} \geq 0$. Maximiere den Gesamtnutzen.



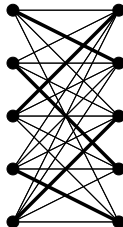
Das Zuweisungsproblem – Assignment Problem

Gegeben n **Arbeitnehmer** und n **Arbeitsplätze**. Besetzung von Arbeitsplatz j durch Arbeitnehmer i bringt Nutzen $c_{ij} \geq 0$. Maximiere den Gesamtnutzen. Setze $x_{ij} = 1$ falls i Platz j zugeordnet wird, $x_{ij} = 0$ sonst:



Das Zuweisungsproblem – Assignment Problem

Gegeben n **Arbeitnehmer** und n **Arbeitsplätze**. Besetzung von Arbeitsplatz j durch Arbeitnehmer i bringt Nutzen $c_{ij} \geq 0$. Maximiere den Gesamtnutzen. Setze $x_{ij} = 1$ falls i Platz j zugeordnet wird, $x_{ij} = 0$ sonst:

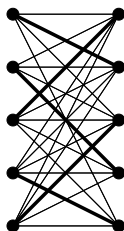


$$\max \sum_{i=1}^n \sum_{j=1}^n c_{ij} x_{ij}$$

$$x_{ij} \in \{0, 1\}$$

Das Zuweisungsproblem – Assignment Problem

Gegeben n Arbeitnehmer und n Arbeitsplätze. Besetzung von Arbeitsplatz j durch Arbeitnehmer i bringt Nutzen $c_{ij} \geq 0$. Maximiere den Gesamtnutzen. Setze $x_{ij} = 1$ falls i Platz j zugeordnet wird, $x_{ij} = 0$ sonst:

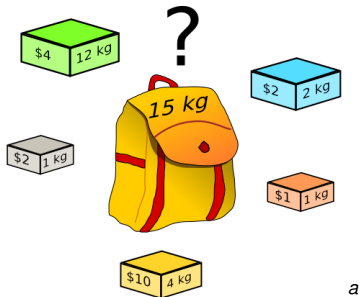


$$\begin{array}{r}
 \max \\
 (AP)
 \end{array}
 \sum_{i=1}^n \sum_{j=1}^n c_{ij} x_{ij}$$

$$\begin{array}{r}
 \sum_{j=1}^n x_{ij} = 1 \\
 \sum_{i=1}^n x_{ij} = 1 \\
 x_{ij} \in \{0, 1\}
 \end{array}
 \quad
 \begin{array}{l}
 \forall i = 1, \dots, n \\
 \forall j = 1, \dots, n
 \end{array}$$

Das Rucksack Problem (Knapsack Problem)

Gegeben sei ein Rucksack mit **Kapazität** $b \in \mathbb{N}$ und n **Gegenstände**. Gegenstand i hat **Gewicht** (Volumen) a_i und bringt **Nutzen** c_i . Packe Rucksack so, dass der Nutzen maximiert wird.



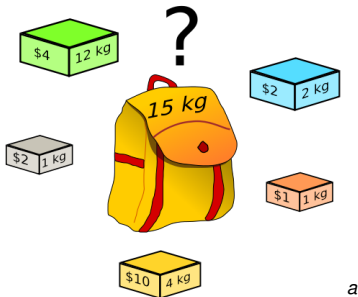
^ahttp://en.wikipedia.org/wiki/Knapsack_problem

Das Rucksack Problem (Knapsack Problem)

Gegeben sei ein Rucksack mit Kapazität $b \in \mathbb{N}$ und n Gegenstände. Gegenstand i hat Gewicht (Volumen) a_i und bringt Nutzen c_i . Packe Rucksack so, dass der Nutzen maximiert wird.

$$\max \sum_{j=1}^n c_j x_j$$

$$x_j \in \{0, 1\}$$

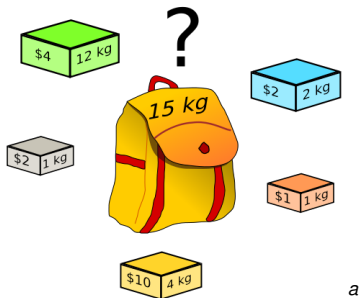


^ahttp://en.wikipedia.org/wiki/Knapsack_problem

Das Rucksack Problem (Knapsack Problem)

Gegeben sei ein Rucksack mit Kapazität $b \in \mathbb{N}$ und n Gegenstände. Gegenstand i hat Gewicht (Volumen) a_i und bringt Nutzen c_i . Packe Rucksack so, dass der Nutzen maximiert wird.

$$\begin{aligned}
 \max \quad & \sum_{j=1}^n c_j x_j \\
 (KP) \quad & \sum_{j=1}^n a_j x_j \leq b \\
 & x_j \in \{0, 1\}
 \end{aligned}$$

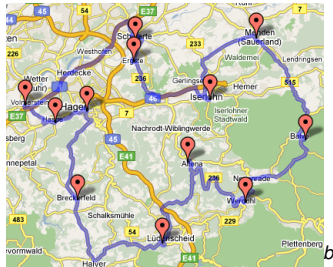


^ahttp://en.wikipedia.org/wiki/Knapsack_problem



Rundreiseproblem (Travelling Salesman Problem TSP)

Man will n Städte in **Rundreise** besuchen und zum Ausgangspunkt zurückkehren. **Reisezeit** von Stadt i zu Stadt j ist c_{ij} . Minimiere Gesamtreisezeit.



^b©TeleData PPWK 2009

Rundreiseproblem (Travelling Salesman Problem TSP)

Man will n Städte in **Rundreise** besuchen und zum Ausgangspunkt zurückkehren. **Reisezeit** von Stadt i zu Stadt j ist c_{ij} . Minimiere Gesamtreisezeit. Setze $x_{ij} = 1$, wenn Stadt i unmittelbar vor Stadt j besucht wird.



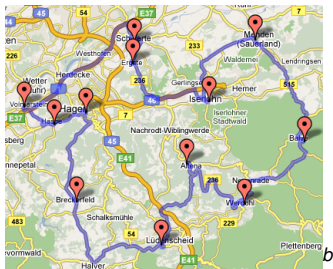
^b©TeleData PPWK 2009

Rundreiseproblem (Travelling Salesman Problem TSP)

Man will n Städte in **Rundreise** besuchen und zum Ausgangspunkt zurückkehren. **Reisezeit** von Stadt i zu Stadt j ist c_{ij} . Minimiere Gesamtreisezeit. Setze $x_{ij} = 1$, wenn Stadt i unmittelbar vor Stadt j besucht wird.

$$\min \sum_{i=1}^n \sum_{j=1}^n c_{ij} x_{ij}$$

$$x_{ij} \in \{0, 1\}$$



^b©TeleData PPWK 2009

Rundreiseproblem (Travelling Salesman Problem TSP)

Man will n Städte in **Rundreise** besuchen und zum Ausgangspunkt zurückkehren. **Reisezeit** von Stadt i zu Stadt j ist c_{ij} . Minimiere Gesamtreisezeit. Setze $x_{ij} = 1$, wenn Stadt i unmittelbar vor Stadt j besucht wird.

$$\begin{aligned}
 \min \quad & \sum_{i=1}^n \sum_{j=1}^n c_{ij} x_{ij} \\
 (TSP) \quad & \sum_{j=1}^n x_{ij} = 1 \quad \forall i = 1, \dots, n \\
 & \sum_{i=1}^n x_{ij} = 1 \quad \forall j = 1, \dots, n \\
 & x_{ij} \in \{0, 1\}
 \end{aligned}$$



^b©TeleData PPWK 2009

Rundreiseproblem (Travelling Salesman Problem TSP)

Man will n Städte in **Rundreise** besuchen und zum Ausgangspunkt zurückkehren. **Reisezeit** von Stadt i zu Stadt j ist c_{ij} . Minimiere Gesamtreisezeit. Setze $x_{ij} = 1$, wenn Stadt i unmittelbar vor Stadt j besucht wird.

$$\begin{aligned}
 \min \quad & \sum_{i=1}^n \sum_{j=1}^n c_{ij} x_{ij} \\
 \text{(TSP)} \quad & \sum_{j=1}^n x_{ij} = 1 \quad \forall i = 1, \dots, n \\
 & \sum_{i=1}^n x_{ij} = 1 \quad \forall j = 1, \dots, n \\
 & \sum_{i \in S} \sum_{j \notin S} x_{ij} \geq 1 \quad \forall \emptyset \neq S \subset \{1, \dots, n\} \\
 & x_{ij} \in \{0, 1\}
 \end{aligned}$$



^b©TeleData PPWK 2009

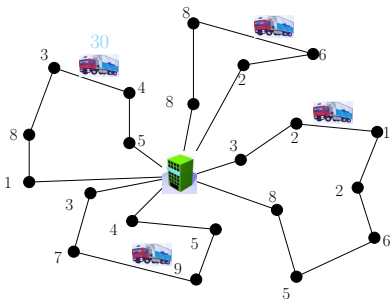


Kapazitierte Tourenplanung CVRP

V_0 Menge von Knoten in gewichtetem Graph (**Kunden**) mit **Bestellmengen** $b_v \in \mathbb{N}$. $v_0 \notin V_0$ ein **Depot**. $C \in \mathbb{N}$ **Kapazität** der $k \in \mathbb{N}$ LKW. Seien c_e **Kosten** des Transports entlang Kante e . Beliefere Kunden kostenminimal.

Kapazitierte Tourenplanung CVRP

V_0 Menge von Knoten in gewichtetem Graph (**Kunden**) mit **Bestellmengen** $b_v \in \mathbb{N}$. $v_0 \notin V_0$ ein **Depot**. $C \in \mathbb{N}$ **Kapazität** der $k \in \mathbb{N}$ LKW. Seien c_e **Kosten** des Transports entlang Kante e . Beliefere Kunden kostenminimal.





Kapazitierte Tourenplanung CVRP

V_0 Menge von Knoten in gewichtetem Graph (**Kunden**) mit **Bestellmengen** $b_v \in \mathbb{N}$. $v_0 \notin V_0$ ein **Depot**. $C \in \mathbb{N}$ **Kapazität** der $k \in \mathbb{N}$ LKW. Seien c_e **Kosten** des Transports entlang Kante e . Beliefere Kunden kostenminimal.

$$\min \sum_{e \in E} c_e x_e$$

Kapazitierte Tourenplanung CVRP

V_0 Menge von Knoten in gewichtetem Graph (**Kunden**) mit **Bestellmengen** $b_v \in \mathbb{N}$. $v_0 \notin V_0$ ein **Depot**. $C \in \mathbb{N}$ **Kapazität** der $k \in \mathbb{N}$ LKW. Seien c_e **Kosten** des Transports entlang Kante e . Beliefere Kunden kostenminimal.

$$\begin{aligned} \min \quad & \sum_{e \in E} c_e x_e \\ & \sum_{v \in e} x_e = 2 \quad \forall v \in V_0 \\ & \sum_{v_0 \in e} x_e = 2k \end{aligned}$$

Kapazitierte Tourenplanung CVRP

V_0 Menge von Knoten in gewichtetem Graph (**Kunden**) mit **Bestellmengen** $b_v \in \mathbb{N}$. $v_0 \notin V_0$ ein **Depot**. $C \in \mathbb{N}$ **Kapazität** der $k \in \mathbb{N}$ LKW. Seien c_e **Kosten** des Transports entlang Kante e . Beliefere Kunden kostenminimal.

$$\begin{aligned}
 \min \quad & \sum_{e \in E} c_e x_e \\
 & \sum_{v \in e} x_e = 2 \quad \forall v \in V_0 \\
 & \sum_{v_0 \in e} x_e = 2k \\
 & \sum_{\substack{e=(u,v) \\ u \in S \neq v}} x_e \geq 2 \frac{\sum_{v \in S} b_v}{C} \quad \forall S \subseteq V_0
 \end{aligned}$$

Kapazitierte Tourenplanung CVRP

V_0 Menge von Knoten in gewichtetem Graph (**Kunden**) mit **Bestellmengen** $b_v \in \mathbb{N}$. $v_0 \notin V_0$ ein **Depot**. $C \in \mathbb{N}$ **Kapazität** der $k \in \mathbb{N}$ LKW. Seien c_e **Kosten** des Transports entlang Kante e . Beliefere Kunden kostenminimal.

$$\begin{array}{ll}
 \min & \sum_{e \in E} c_e x_e \\
 & \sum_{v \in e} x_e = 2 \quad \forall v \in V_0 \\
 & \sum_{v_0 \in e} x_e = 2k \\
 & \sum_{\substack{e=(u,v) \\ u \in S, v \notin S}} x_e \geq 2 \frac{\sum_{v \in S} b_v}{C} \quad \forall S \subseteq V_0 \\
 & x_e \in \{0, 1\} \quad \forall e \in V_0 \times V_0 \\
 & x_e \in \{0, 1, 2\} \quad \forall v_0 \in e
 \end{array}$$

Outline

Grundbegriffe

Ganzzahlige Optimierungsaufgaben

Beispiele kombinatorischer IPs

Alternative Modellierungen

Gutartige Probleme

Das Assignment Problem

Total unimodulare Matrizen

Nichtbipartites Matching

Weitere gutartige Probleme

Polyeder

Seien $A \in \mathbb{Z}^{m \times n}$, $b \in \mathbb{Z}^m$.

Polyeder

Seien $A \in \mathbb{Z}^{m \times n}$, $b \in \mathbb{Z}^m$. Die Menge $P := \{x \in \mathbb{R}^n \mid Ax \leq b\}$ heißt ein **Polyeder**.

Polyeder

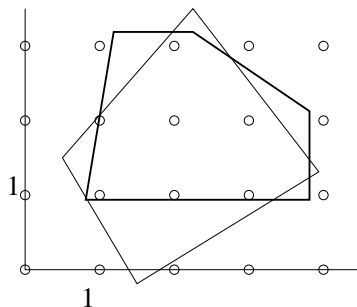
Seien $A \in \mathbb{Z}^{m \times n}$, $b \in \mathbb{Z}^m$. Die Menge $P := \{x \in \mathbb{R}^n \mid Ax \leq b\}$ heißt ein **Polyeder**. Sei $X \subseteq \mathbb{Z}^r \times \mathbb{R}^p$.

Polyeder

Seien $A \in \mathbb{Z}^{m \times n}$, $b \in \mathbb{Z}^m$. Die Menge $P := \{x \in \mathbb{R}^n \mid Ax \leq b\}$ heißt ein **Polyeder**. Sei $X \subseteq \mathbb{Z}^r \times \mathbb{R}^p$. Wir sagen, das Polyeder P **modelliert** X genau dann, wenn $X = P \cap (\mathbb{Z}^r \times \mathbb{R}^p)$.

Polyeder

Seien $A \in \mathbb{Z}^{m \times n}$, $b \in \mathbb{Z}^m$. Die Menge $P := \{x \in \mathbb{R}^n \mid Ax \leq b\}$ heißt ein **Polyeder**. Sei $X \subseteq \mathbb{Z}^r \times \mathbb{R}^p$. Wir sagen, das Polyeder P **modelliert** X genau dann, wenn $X = P \cap (\mathbb{Z}^r \times \mathbb{R}^p)$. Zwei Modellierungen von $\{(1, 1), (2, 1), (3, 1), (1, 2), (2, 2), (3, 2), (2, 3)\}$.





Gute und ideale Formulierungen

Eine Modellierung ist gut, wenn die **Ecken** des Polyeders möglichst gute Informationen über die gesuchten Lösungen liefern. Im **Idealfall** sind bereits alle Ecken ganzzahlig.

Gute und ideale Formulierungen

Eine Modellierung ist gut, wenn die **Ecken** des Polyeders möglichst gute Informationen über die gesuchten Lösungen liefern. Im **Idealfall** sind bereits alle Ecken ganzzahlig.

Warum betrachten wir **Polyeder**, wenn wir **diskrete** (ganzzahlige) Lösungsmengen betrachten?



Gute und ideale Formulierungen

Eine Modellierung ist gut, wenn die **Ecken** des Polyeders möglichst gute Informationen über die gesuchten Lösungen liefern. Im **Idealfall** sind bereits alle Ecken ganzzahlig.

Warum betrachten wir **Polyeder**, wenn wir **diskrete** (ganzzahlige) Lösungsmengen betrachten?

Seien $x_1, \dots, x_k \in \mathbb{R}^n$ und $\lambda \in \mathbb{R}^k$. Dann heißt

$$x = \sum_{i=1}^k \lambda_i x_i$$

Konvexkombination, wenn $\lambda \geq 0$, $\sum_{i=1}^k \lambda_i = 1$. Die Menge aller Konvexkombinationen von Elementen in X , nennen wir die **konvexe Hülle** $\text{Conv}(X)$.



Gute und ideale Formulierungen

Eine Modellierung ist gut, wenn die **Ecken** des Polyeders möglichst gute Informationen über die gesuchten Lösungen liefern. Im **Idealfall** sind bereits alle Ecken ganzzahlig.

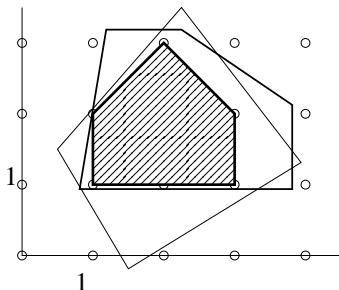
Warum betrachten wir **Polyeder**, wenn wir **diskrete** (ganzzahlige) Lösungsmengen betrachten?

Satz (Minkowski): Ist **X endlich**, so ist $\text{Conv}(X)$ ein **Polyeder** und alle Ecken von $\text{Conv}(X)$ liegen in X .

Gute und ideale Formulierungen

Eine Modellierung ist gut, wenn die **Ecken** des Polyeders möglichst gute Informationen über die gesuchten Lösungen liefern. Im **Idealfall** sind bereits alle Ecken ganzzahlig.

Satz: Die konvexe Hülle der zulässigen Punkte eines IP ist ein Polyeder.





Gute und ideale Formulierungen

Eine Modellierung ist gut, wenn die **Ecken** des Polyeders möglichst gute Informationen über die gesuchten Lösungen liefern. Im **Idealfall** sind bereits alle Ecken ganzzahlig.

Satz: Die konvexe Hülle der zulässigen Punkte eines IP ist ein Polyeder.

Wir können also die Optimierungsaufgabe $\max_{x \in X} c^T x$ äquivalent ersetzen durch $\max_{x \in \text{Conv}(X)} c^T x$.

Gute und ideale Formulierungen

Eine Modellierung ist gut, wenn die **Ecken** des Polyeders möglichst gute Informationen über die gesuchten Lösungen liefern. Im **Idealfall** sind bereits alle Ecken ganzzahlig.

Satz: Die konvexe Hülle der zulässigen Punkte eines IP ist ein Polyeder.

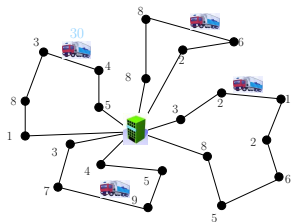
Wir können also die Optimierungsaufgabe $\max_{x \in X} c^T x$ äquivalent ersetzen durch $\max_{x \in \text{Conv}(X)} c^T x$. Leider hat oftmals **Conv(X)** eine Beschreibung, die exponentiell in der Anzahl der Punkte von X ist oder **aus prinzipiellen Gründen nicht in geschlossener Form bekannt** sein kann (mehr dazu später).

Gute und ideale Formulierungen II

Seien P_1, P_2 zwei Modellierungen von X . Dann sagen wir P_1 ist **besser als P_2** , wenn $P_1 \subset P_2$.

Gute und ideale Formulierungen II

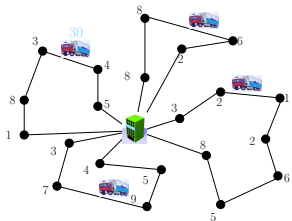
Seien P_1, P_2 zwei Modellierungen von X . Dann sagen wir P_1 ist besser als P_2 , wenn $P_1 \subset P_2$.



$$\begin{array}{llll}
 \min & \sum_{e \in E} C_e X_e & & \\
 & \sum_{v \in e} X_e & = & 2 \quad \forall v \in V_0 \\
 & \sum_{v_0 \in e} X_e & = & 2k \\
 & \sum_{\substack{e=(u,v) \\ u \in S \neq v}} X_e & \geq & 2 \frac{\sum_{v \in S} b_v}{C} \quad \forall S \subseteq V_0 \\
 & X_e & \in & \{0, 1\} \quad \forall e \in V_0 \times V_0 \\
 & X_e & \in & \{0, 1, 2\} \quad \forall v_0 \in e
 \end{array}$$

Gute und ideale Formulierungen II

Seien P_1, P_2 zwei Modellierungen von X . Dann sagen wir P_1 ist besser als P_2 , wenn $P_1 \subset P_2$.



$$\begin{array}{llll}
 \min & \sum_{e \in E} C_e X_e & & \\
 & \sum_{v \in e} X_e & = & 2 \quad \forall v \in V_0 \\
 & \sum_{v_0 \in e} X_e & = & 2k \\
 & \sum_{\substack{e=(u,v) \\ u \in S \neq v}} X_e & \geq & 2 \lceil \frac{\sum_{v \in S} b_v}{C} \rceil \quad \forall S \subseteq V_0 \\
 & X_e & \in & \{0, 1\} \quad \forall e \in V_0 \times V_0 \\
 & X_e & \in & \{0, 1, 2\} \quad \forall v_0 \in e
 \end{array}$$

Outline

Grundbegriffe

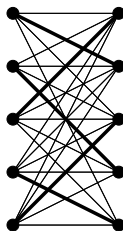
Ganzzahlige Optimierungsaufgaben
Beispiele kombinatorischer IPs
Alternative Modellierungen

Gutartige Probleme

Das Assignment Problem
Total unimodulare Matrizen
Nichtbipartites Matching
Weitere gutartige Probleme

Das Assignment Problem

Gegeben n Arbeitnehmer und n Arbeitsplätze. Besetzung von Arbeitsplatz j durch Arbeitnehmer i bringt Nutzen $c_{ij} \geq 0$. Maximiere den Gesamtnutzen.



$$\begin{aligned}
 \max \quad & \sum_{i=1}^n \sum_{j=1}^n c_{ij} x_{ij} \\
 (AP) \quad & \sum_{j=1}^n x_{ij} = 1 \quad \forall i = 1, \dots, n \\
 & \sum_{i=1}^n x_{ij} = 1 \quad \forall j = 1, \dots, n \\
 & x_{ij} \in \{0, 1\}
 \end{aligned}$$

Ganzzahlige Hülle

Zu $P = P(A, b) := \{x \in \mathbb{R}^n \mid Ax \leq b\}$ bezeichnen wir die konvexe Hülle der ganzzahligen Punkte als die **ganzzahlige Hülle** P_I von P .

Ganzzahlige Hülle

Zu $P = P(A, b) := \{x \in \mathbb{R}^n \mid Ax \leq b\}$ bezeichnen wir die konvexe Hülle der ganzzahligen Punkte als die **ganzzahlige Hülle** P_I von P .

Wir untersuchen **hinreichende Kriterien** dafür, dass $P = P_I$ für ein Polyeder $P = P(A, b)$ gilt.

Ganzzahlige Hülle

Zu $P = P(A, b) := \{x \in \mathbb{R}^n \mid Ax \leq b\}$ bezeichnen wir die konvexe Hülle der ganzzahligen Punkte als die **ganzzahlige Hülle** P_I von P .

Wir untersuchen **hinreichende Kriterien** dafür, dass $P = P_I$ für ein Polyeder $P = P(A, b)$ gilt.

Satz

$x \in P$ ist genau dann Ecke von $P = P(A, b)$, wenn es n linear unabhängige Zeilen l von A gibt, mit $A_l x = b_l$ also $x = A_l^{-1} b_l$.

Ganzzahlige Hülle

Zu $P = P(A, b) := \{x \in \mathbb{R}^n \mid Ax \leq b\}$ bezeichnen wir die konvexe Hülle der ganzzahligen Punkte als die **ganzzahlige Hülle** P_I von P .

Wir untersuchen **hinreichende Kriterien** dafür, dass $P = P_I$ für ein Polyeder $P = P(A, b)$ gilt.

Satz

$x \in P$ ist genau dann Ecke von $P = P(A, b)$, wenn es n linear unabhängige Zeilen l von A gibt, mit $A_l x = b_l$ also $x = A_l^{-1} b$.

Wie sehen Matrizen A aus, so dass $P(A, b) = P_I$ für **beliebige** ganzzahlige Vektoren b ?

Outline

Grundbegriffe

Ganzzahlige Optimierungsaufgaben
Beispiele kombinatorischer IPs
Alternative Modellierungen

Gutartige Probleme

Das Assignment Problem
Total unimodulare Matrizen
Nichtbipartites Matching
Weitere gutartige Probleme



Totale Unimodularität

Eine Matrix $A \in \mathbb{Z}^{m \times n}$ heißt **total unimodular** wenn alle ihre Unterdeterminanten in $\{0, 1, -1\}$ liegen. Insbesondere $A \in \{0, \pm 1\}^{m \times n}$.



Totale Unimodularität

Eine Matrix $A \in \mathbb{Z}^{m \times n}$ heißt **total unimodular** wenn alle ihre Unterdeterminanten in $\{0, 1, -1\}$ liegen. Insbesondere $A \in \{0, \pm 1\}^{m \times n}$.

Satz

Sei $A \in \mathbb{Z}^{m \times n}$ total unimodular, $b \in \mathbb{Z}^m$ und $P = P(A, b)$. Dann ist $P = P_I$.



Totale Unimodularität

Eine Matrix $A \in \mathbb{Z}^{m \times n}$ heißt **total unimodular** wenn alle ihre Unterdeterminanten in $\{0, 1, -1\}$ liegen. Insbesondere $A \in \{0, \pm 1\}^{m \times n}$.

Satz

Sei $A \in \mathbb{Z}^{m \times n}$ total unimodular, $b \in \mathbb{Z}^m$ und $P = P(A, b)$. Dann ist $P = P_I$.

Beweis.

Sei x Ecke von P und I mit $A_I x = b$.

Totale Unimodularität

Eine Matrix $A \in \mathbb{Z}^{m \times n}$ heißt **total unimodular** wenn alle ihre Unterdeterminanten in $\{0, 1, -1\}$ liegen. Insbesondere $A \in \{0, \pm 1\}^{m \times n}$.

Satz

Sei $A \in \mathbb{Z}^{m \times n}$ total unimodular, $b \in \mathbb{Z}^m$ und $P = P(A, b)$. Dann ist $P = P_I$.

Beweis.

Sei x Ecke von P und I mit $A_I x = b$. Nach Cramerscher Regel ist

$$x_j = \frac{\det(\tilde{A})}{\det A_I} = \pm \det(\tilde{A}),$$

wobei \tilde{A} die ganzzahlige Matrix ist, die aus A_I entsteht, wenn man die j -te Spalte durch b ersetzt.

Totale Unimodularität

Eine Matrix $A \in \mathbb{Z}^{m \times n}$ heißt **total unimodular** wenn alle ihre Unterdeterminanten in $\{0, 1, -1\}$ liegen. Insbesondere $A \in \{0, \pm 1\}^{m \times n}$.

Satz

Sei $A \in \mathbb{Z}^{m \times n}$ total unimodular, $b \in \mathbb{Z}^m$ und $P = P(A, b)$. Dann ist $P = P_I$.

Beweis.

Sei x Ecke von P und I mit $A_I x = b$. Nach Cramerscher Regel ist

$$x_j = \frac{\det(\tilde{A})}{\det A_I} = \pm \det(\tilde{A}),$$

wobei \tilde{A} die ganzzahlige Matrix ist, die aus A_I entsteht, wenn man die j -te Spalte durch b ersetzt. Die Determinante einer ganzzahligen Matrix ist ganzzahlig. □

Totale Unimodularität II

Satz

Sind $c \in \mathbb{Z}^n$, $b \in \mathbb{Z}^m$ und ist $A \in \mathbb{Z}^{m \times n}$ total unimodular. Dann haben das primale Problem und das duale Problem

$$\begin{array}{ll}
 (P) & \max \quad c^\top x \\
 & Ax = b \\
 & x \geq 0
 \end{array}
 \qquad
 \begin{array}{ll}
 (D) & \min \quad u^\top b \\
 & u^\top A \geq c^\top
 \end{array}$$

ganzzahlige Optimallösungen.

Totale Unimodularität II

Satz

Sind $c \in \mathbb{Z}^n$, $b \in \mathbb{Z}^m$ und ist $A \in \mathbb{Z}^{m \times n}$ total unimodular. Dann haben das primale Problem und das duale Problem

$$\begin{array}{ll}
 (P) & \max \quad c^\top x \\
 & Ax = b \\
 & x \geq 0
 \end{array}
 \qquad
 \begin{array}{ll}
 (D) & \min \quad u^\top b \\
 & u^\top A \geq c^\top
 \end{array}$$

ganzzahlige Optimallösungen.

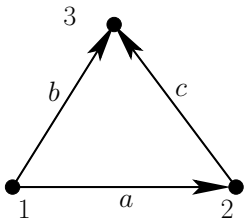
Satz (Hoffman und Kruskal 1956)

Sei $A \in \mathbb{Z}^{m \times n}$. Dann ist $P = \{x \in \mathbb{R}^n \mid Ax \leq b, x \geq 0\}$ genau dann für alle ganzzahligen $b \in \mathbb{Z}^m$ ganzzahlig, wenn A total unimodular ist.

Probleme vom Netzwerktyp

Ist $G = (V, A)$ ein Netzwerk, so ist die **Inzidenzmatrix** $A \in \{\pm 1, 0\}^{V \times A}$ gegeben durch

$$A_{v,a=(h,t)} = \begin{cases} 1 & \text{falls } v = h \\ -1 & \text{falls } v = t \\ 0 & \text{sonst} \end{cases}$$



$$\begin{matrix} & a & b & c \\ \begin{matrix} 1 \\ 2 \\ 3 \end{matrix} & \begin{pmatrix} 1 & 1 & 0 \\ -1 & 0 & 1 \\ 0 & -1 & -1 \end{pmatrix} \end{matrix}.$$

Probleme vom Netzwerktyp II

Satz

Die Inzidenzmatrix A eines Digraphen ist total unimodular.

Probleme vom Netzwerktyp II

Satz

Die Inzidenzmatrix A eines Digraphen ist total unimodular.

Beweis.

Sei B eine quadratische Untermatrix von A .

Probleme vom Netzwerktyp II

Satz

Die Inzidenzmatrix A eines Digraphen ist total unimodular.

Beweis.

Sei B eine quadratische Untermatrix von A .

1. Fall: Es gibt eine Nullspalte

Probleme vom Netzwerktyp II

Satz

Die Inzidenzmatrix A eines Digraphen ist total unimodular.

Beweis.

Sei B eine quadratische Untermatrix von A .

1. Fall: Es gibt eine Nullspalte $\Rightarrow \det(B) = 0$.

Probleme vom Netzwerktyp II

Satz

Die Inzidenzmatrix A eines Digraphen ist total unimodular.

Beweis.

Sei B eine quadratische Untermatrix von A .

1. Fall: Es gibt eine Nullspalte $\Rightarrow \det(B) = 0$.
2. Fall: Jede Spalte hat genau eine 1 und eine -1

Probleme vom Netzwerktyp II

Satz

Die Inzidenzmatrix A eines Digraphen ist total unimodular.

Beweis.

Sei B eine quadratische Untermatrix von A .

1. Fall: Es gibt eine Nullspalte $\Rightarrow \det(B) = 0$.
2. Fall: Jede Spalte hat genau eine 1 und eine -1
 $\Rightarrow \det(B) = 0$.

Probleme vom Netzwerktyp II

Satz

Die Inzidenzmatrix A eines Digraphen ist total unimodular.

Beweis.

Sei B eine quadratische Untermatrix von A .

1. Fall: Es gibt eine Nullspalte $\Rightarrow \det(B) = 0$.
2. Fall: Jede Spalte hat genau eine 1 und eine -1
 $\Rightarrow \det(B) = 0$.
3. Fall: Es gibt eine Spalte, die genau ein Element $\neq 0$ enthält.

Probleme vom Netzwerktyp II

Satz

Die Inzidenzmatrix A eines Digraphen ist total unimodular.

Beweis.

Sei B eine quadratische Untermatrix von A .

1. Fall: Es gibt eine Nullspalte $\Rightarrow \det(B) = 0$.
2. Fall: Jede Spalte hat genau eine 1 und eine -1
 $\Rightarrow \det(B) = 0$.
3. Fall: Es gibt eine Spalte, die genau ein Element $\neq 0$ enthält.
Entwicklung nach diese Spalte, Induktion, fertig.





Probleme vom Netzwerktyp III

Probleme vom „Netzwerktyp“ wie



Probleme vom Netzwerktyp III

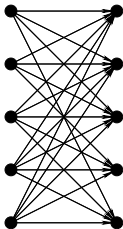
Probleme vom „Netzwerktyp“ wie

- Maximale Flüsse

Probleme vom Netzwerktyp III

Probleme vom „Netzwerktyp“ wie

- Maximale Flüsse
- Zuweisungsprobleme





Probleme vom Netzwerktyp III

Probleme vom „Netzwerktyp“ wie

- Maximale Flüsse
- Zuweisungsprobleme
- Minimale Schnitte



Probleme vom Netzwerktyp III

Probleme vom „Netzwerktyp“ wie

- Maximale Flüsse
- Zuweisungsprobleme
- Minimale Schnitte
- Kürzeste Wege



Probleme vom Netzwerktyp III

Probleme vom „Netzwerktyp“ wie

- Maximale Flüsse
- Zuweisungsprobleme
- Minimale Schnitte
- Kürzeste Wege
- Kostenminimale Flüsse



Probleme vom Netzwerktyp III

Probleme vom „Netzwerktyp“ wie

- Maximale Flüsse
- Zuweisungsprobleme
- Minimale Schnitte
- Kürzeste Wege
- Kostenminimale Flüsse

haben total unimodulare Restriktionsmatrizen. **Lineare Optimierung** liefert also schon **ganzzahlige** Lösungen.



Probleme vom Netzwerktyp III

Probleme vom „Netzwerktyp“ wie

- Maximale Flüsse
- Zuweisungsprobleme
- Minimale Schnitte
- Kürzeste Wege
- Kostenminimale Flüsse

haben total unimodulare Restriktionsmatrizen. **Lineare Optimierung** liefert also schon **ganzzahlige** Lösungen.

Satz (Seymour 1980)

Alle total unimodularen Matrizen lassen sich aus Netzwerkflussmatrizen, deren Transponierten und einer weiteren speziellen Matrix durch zwei Verknüpfungsoperationen konstruieren.

Outline

Grundbegriffe

Ganzzahlige Optimierungsaufgaben
Beispiele kombinatorischer IPs
Alternative Modellierungen

Gutartige Probleme

Das Assignment Problem
Total unimodulare Matrizen
Nichtbipartites Matching
Weitere gutartige Probleme



Nichtbipartites Matching

Sei $G = K_n$ der vollständige Graph mit n Knoten und Kantengewichtsfunktion c . Für $v \in V$ sei $\delta(v)$ die Menge der zu v inzidenten Kanten. Das gewichtete **Minimum Perfect Matching Problem** wird durch folgendes BP modelliert.

Nichtbipartites Matching

Sei $G = K_n$ der vollständige Graph mit n Knoten und Kantengewichtsfunktion c . Für $v \in V$ sei $\delta(v)$ die Menge der zu v inzidenten Kanten. Das gewichtete **Minimum Perfect Matching Problem** wird durch folgendes BP modelliert.

$$\min \sum_{e \in E} c_e x_e$$

$$x_e \in \{0, 1\}$$

Nichtbipartites Matching

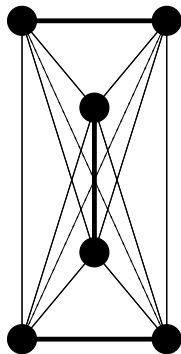
Sei $G = K_n$ der vollständige Graph mit n Knoten und Kantengewichtsfunktion c . Für $v \in V$ sei $\delta(v)$ die Menge der zu v inzidenten Kanten. Das gewichtete **Minimum Perfect Matching Problem** wird durch folgendes BP modelliert.

$$\begin{array}{l}
 \min \\
 (MPMP) \quad \sum_{e \in E} c_e x_e \\
 \sum_{e \in \delta(v)} x_e = 1 \quad \forall v \in V \\
 x_e \in \{0, 1\}
 \end{array}$$

Nichtbipartites Matching

Sei $G = K_n$ der vollständige Graph mit n Knoten und Kantengewichtsfunktion c . Für $v \in V$ sei $\delta(v)$ die Menge der zu v inzidenten Kanten. Das gewichtete **Minimum Perfect Matching Problem** wird durch folgendes BP modelliert.

$$\begin{array}{ll}
 \min & \sum_{e \in E} c_e x_e \\
 (MPMP) & \sum_{e \in \delta(v)} x_e = 1 \quad \forall v \in V \\
 & x_e \in \{0, 1\}
 \end{array}$$



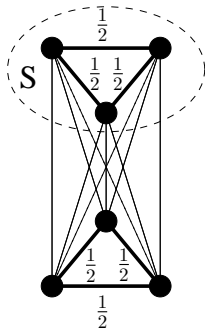
Schnittebenen

Die halbzahlige Lösung verletzt die folgende, offensichtlich für alle perfekten Matchings **gültige Ungleichung**.

$$\sum_{e \in \delta(S)} x_e \geq 1.$$

Dabei bezeichne $\delta(S)$ die Menge aller Kanten, die genau einen Endknoten in S haben.

Verletzte Ungleichungen dieses Typs kann man beim Matchingproblem effizient finden. Das **Separationsproblem** für das Perfect Matching Polytope ist polynomiell lösbar.



Grötschel, Lovász, Schrijver

Sei $P \subseteq \mathbb{Q}^n$ eine konvexe Menge $x \in \mathbb{Q}^n$.

Grötschel, Lovász, Schrijver

Sei $P \subseteq \mathbb{Q}^n$ eine konvexe Menge $x \in \mathbb{Q}^n$. Das **Separationsproblem** besteht darin,



Grötschel, Lovász, Schrijver

Sei $P \subseteq \mathbb{Q}^n$ eine konvexe Menge $x \in \mathbb{Q}^n$. Das **Separationsproblem** besteht darin,

- entweder zu bestätigen, dass $x \in P$ oder

Grötschel, Lovász, Schrijver

Sei $P \subseteq \mathbb{Q}^n$ eine konvexe Menge $x \in \mathbb{Q}^n$. Das **Separationsproblem** besteht darin,

- entweder zu bestätigen, dass $x \in P$ oder
- ein $c \in \mathbb{Q}^n$ anzugeben mit

$$\forall z \in P : c^T x < c^T z.$$

Grötschel, Lovász, Schrijver

Sei $P \subseteq \mathbb{Q}^n$ eine konvexe Menge $x \in \mathbb{Q}^n$. Das **Separationsproblem** besteht darin,

- entweder zu bestätigen, dass $x \in P$ oder
- ein $c \in \mathbb{Q}^n$ anzugeben mit

$$\forall z \in P : c^T x < c^T z.$$

Satz (Grötschel, Lovász, Schrijver '81)

Separieren und Optimieren sind polynomiell äquivalent für jede gegebene Klasse von Polyedern.

Grötschel, Lovász, Schrijver

Sei $P \subseteq \mathbb{Q}^n$ eine konvexe Menge $x \in \mathbb{Q}^n$. Das **Separationsproblem** besteht darin,

- entweder zu bestätigen, dass $x \in P$ oder
- ein $c \in \mathbb{Q}^n$ anzugeben mit

$$\forall z \in P : c^T x < c^T z.$$

Satz (Grötschel, Lovász, Schrijver '81)

Separieren und Optimieren sind polynomiell äquivalent für jede gegebene Klasse von Polyedern.

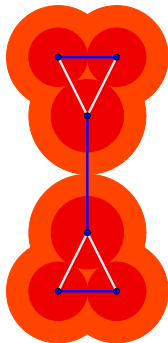
Der Beweis fußt auf der Polynomialität der **Ellipsoidmethode**.

Das Perfect Matching Polytope

$$\begin{array}{l}
 \min \\
 (MPMP) \quad \sum_{e \in E} c_e x_e \\
 \sum_{e \in \delta(v)} x_e = 1 \quad \forall v \in V \\
 x_e \in \{0, 1\}
 \end{array}$$

Das Perfect Matching Polytope

$$\begin{aligned}
 \min \quad & \sum_{e \in E} c_e x_e \\
 (\text{MPMP}) \quad & \sum_{e \in \delta(v)} x_e = 1 \quad \forall v \in V \\
 & \sum_{e \in \delta(S)} x_e \geq 1 \quad \text{für } s \subseteq V \\
 & x_e \geq 0 \quad |S| \text{ ungerade}
 \end{aligned}$$



Das Perfect Matching Polytope $MPMP_I$ lässt sich vollständig beschreiben – allerdings mittels exponentiell vieler Ungleichungen.

Outline

Grundbegriffe

Ganzzahlige Optimierungsaufgaben
Beispiele kombinatorischer IPs
Alternative Modellierungen

Gutartige Probleme

Das Assignment Problem
Total unimodulare Matrizen
Nichtbipartites Matching
Weitere gutartige Probleme

Spezielle rechte Seiten

Darüber hinaus untersucht man Ganz-zahligkeitseigenschaften für spezielle Paare von Matrizen und rechten Seiten. Solche findet etwa man unter den Stichworten

- TDI-Systeme

Spezielle rechte Seiten

Darüber hinaus untersucht man Ganz-zahligkeitseigenschaften für spezielle Paare von Matrizen und rechten Seiten. Solche findet etwa man unter den Stichworten

- TDI-Systeme
- perfekte Matrizen (bei Packungsproblemen)

Spezielle rechte Seiten

Darüber hinaus untersucht man Ganz-zahligkeitseigenschaften für spezielle Paare von Matrizen und rechten Seiten. Solche findet etwa man unter den Stichworten

- TDI-Systeme
- perfekte Matrizen (bei Packungsproblemen)
- ideale Matrizen (bei Überdeckungsproblemen).

Outline II

NP und pseudopolynomielle Probleme

Entscheidungsprobleme

Warum Probleme in \mathcal{NP} nicht a priori schwer sind

Pseudopolynomielle Probleme

Facetten jagen

Facetten \mathcal{NP} -vollständiger Probleme

Schnittebenenverfahren

Kombinatorische Schnitte

Branch and Cut

Branch and Price and Cut

Outline

NP und pseudopolynomielle Probleme

Entscheidungsprobleme

Warum Probleme in \mathcal{NP} nicht a priori schwer sind

Pseudopolynomielle Probleme

Facetten jagen

Facetten \mathcal{NP} -vollständiger Probleme

Schnittebenenverfahren

Kombinatorische Schnitte

Branch and Cut

Branch and Price and Cut



Entscheidungsprobleme, \mathcal{P}

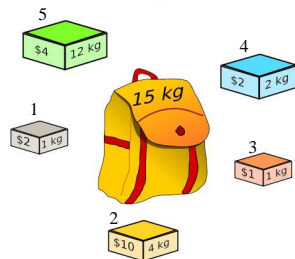
$\Pi : \Sigma^* \rightarrow \{\text{ja, nein}\}$ Entscheidungsproblem

Entscheidungsprobleme, \mathcal{P}

$$\Pi : \Sigma^* \rightarrow \{\text{ja, nein}\}$$

Entscheidungsproblem

Beim Knapsackproblem lautet die Version als Entscheidungsproblem etwa:
„Kann ich mit dem Rucksack Waren im Wert von mindestens 14\$ mitnehmen?“



Entscheidungsprobleme, \mathcal{P}

$\Pi : \Sigma^* \rightarrow \{\text{ja, nein}\}$ Entscheidungsproblem
 A_Π Algorithmus für Π

Entscheidungsprobleme, \mathcal{P}

$$\Pi : \Sigma^* \rightarrow \{\text{ja, nein}\}$$

 A_Π

$$\ell_{A_\Pi} : \Sigma^* \rightarrow \mathbb{N}$$

Entscheidungsproblem

Algorithmus für Π

Laufzeitfunktion

Entscheidungsprobleme, \mathcal{P}

$$\Pi : \Sigma^* \rightarrow \{\text{ja, nein}\}$$

Entscheidungsproblem

$$A_\Pi$$

Algorithmus für Π

$$\ell_{A_\Pi} : \Sigma^* \rightarrow \mathbb{N}$$

Laufzeitfunktion

$$\ell_{A_\Pi}^{WC} : \mathbb{N} \rightarrow \mathbb{N}$$

$$\ell_{A_\Pi}^{WC}(n) := \max\{\ell_{A_\Pi}(\sigma) \mid \langle \sigma \rangle = n\}$$

Dabei ist $\langle \sigma \rangle$ die **Kodierungslänge** der Eingabe σ .

Entscheidungsprobleme, \mathcal{P}

$$\Pi : \Sigma^* \rightarrow \{\text{ja, nein}\}$$

Entscheidungsproblem

$$A_\Pi$$

Algorithmus für Π

$$\ell_{A_\Pi} : \Sigma^* \rightarrow \mathbb{N}$$

Laufzeitfunktion

$$\ell_{A_\Pi}^{wc} : \mathbb{N} \rightarrow \mathbb{N}$$

$$\ell_{A_\Pi}^{wc}(n) := \max\{\ell_{A_\Pi}(\sigma) \mid \langle \sigma \rangle = n\}$$

Dabei ist $\langle \sigma \rangle$ die **Kodierungslänge** der Eingabe σ . Beim Knapsackproblem etwa $\log_2 b + \sum_{i=1}^n (\log_2 a_i + \log_2 c_i)$.

Entscheidungsprobleme, \mathcal{P}

$\Pi : \Sigma^* \rightarrow \{\text{ja, nein}\}$ Entscheidungsproblem

A_Π Algorithmus für Π

$\ell_{A_\Pi} : \Sigma^* \rightarrow \mathbb{N}$ Laufzeitfunktion

$\ell_{A_\Pi}^{WC} : \mathbb{N} \rightarrow \mathbb{N}$ $\ell_{A_\Pi}^{WC}(n) := \max\{\ell_{A_\Pi}(\sigma) \mid \langle \sigma \rangle = n\}$

Dabei ist $\langle \sigma \rangle$ die **Kodierungslänge** der Eingabe σ . A_Π heißt **polynomiell**, wenn es $k \in \mathbb{N}$ gibt mit

$$\ell_{A_\Pi}^{WC}(n) \leq n^k \text{ für alle hinreichend großen } n \in \mathbb{N}.$$

Entscheidungsprobleme, \mathcal{P}

$\Pi : \Sigma^* \rightarrow \{\text{ja, nein}\}$	Entscheidungsproblem
A_Π	Algorithmus für Π
$\ell_{A_\Pi} : \Sigma^* \rightarrow \mathbb{N}$	Laufzeitfunktion
$\ell_{A_\Pi}^{WC} : \mathbb{N} \rightarrow \mathbb{N}$	$\ell_{A_\Pi}^{WC}(n) := \max\{\ell_{A_\Pi}(\sigma) \mid \langle \sigma \rangle = n\}$

Dabei ist $\langle \sigma \rangle$ die **Kodierungslänge** der Eingabe σ . A_Π heißt **polynomiell**, wenn es $k \in \mathbb{N}$ gibt mit

$$\ell_{A_\Pi}^{WC}(n) \leq n^k \text{ für alle hinreichend großen } n \in \mathbb{N}.$$

\mathcal{P} bezeichne die Menge aller Entscheidungsprobleme, die mit einem Algorithmus mit polynomieller Laufzeit gelöst werden können.

Outline

NP und pseudopolynomielle Probleme

Entscheidungsprobleme

Warum Probleme in \mathcal{NP} nicht a priori schwer sind

Pseudopolynomielle Probleme

Facetten jagen

Facetten \mathcal{NP} -vollständiger Probleme

Schnittebenenverfahren

Kombinatorische Schnitte

Branch and Cut

Branch and Price and Cut

\mathcal{NP} und \mathcal{NP} -vollständige Probleme

Mit \mathcal{NP} bezeichnen wir die Menge aller **Entscheidungsprobleme**, bei denen Instanzen, bei denen die Antwort **ja** lautet, mit dem richtigen **Zertifikat** (Hinweis von außen) mit einem Algorithmus mit **polynomieller** Laufzeit verifiziert werden können.

\mathcal{NP} und \mathcal{NP} -vollständige Probleme

Mit \mathcal{NP} bezeichnen wir die Menge aller **Entscheidungsprobleme**, bei denen Instanzen, bei denen die Antwort **ja** lautet, mit dem richtigen **Zertifikat** (Hinweis von außen) mit einem Algorithmus mit **polynomieller** Laufzeit verifiziert werden können.

Problem

Ist $\mathcal{P} \neq \mathcal{NP}$?

\mathcal{NP} und \mathcal{NP} -vollständige Probleme

Mit \mathcal{NP} bezeichnen wir die Menge aller **Entscheidungsprobleme**, bei denen Instanzen, bei denen die Antwort **ja** lautet, mit dem richtigen **Zertifikat** (Hinweis von außen) mit einem Algorithmus mit **polynomieller** Laufzeit verifiziert werden können.

Problem

Ist $\mathcal{P} \neq \mathcal{NP}$?

Ein Problem heißt **\mathcal{NP} -vollständig**, wenn es in \mathcal{NP} liegt und von einem Algorithmus mit **polynomieller Laufzeit für dieses Problem ebensolche Algorithmen für beliebige Probleme in \mathcal{NP}** abgeleitet werden können.



\mathcal{NP} und \mathcal{NP} -vollständige Probleme

Mit \mathcal{NP} bezeichnen wir die Menge aller **Entscheidungsprobleme**, bei denen Instanzen, bei denen die Antwort **ja** lautet, mit dem richtigen **Zertifikat** (Hinweis von außen) mit einem Algorithmus mit **polynomieller** Laufzeit verifiziert werden können.

Problem

Ist $\mathcal{P} \neq \mathcal{NP}$?

Ein Problem heißt **\mathcal{NP} -vollständig**, wenn es in \mathcal{NP} liegt und von einem Algorithmus mit **polynomieller Laufzeit für dieses Problem ebensolche Algorithmen für beliebige Probleme in \mathcal{NP}** abgeleitet werden können.

Satz

Das Knapsack Problem ist \mathcal{NP} -vollständig (und damit insbesondere auch die ganzzahlige Optimierung).

Outline

NP und pseudopolynomielle Probleme

Entscheidungsprobleme

Warum Probleme in \mathcal{NP} nicht a priori schwer sind

Pseudopolynomielle Probleme

Facetten jagen

Facetten \mathcal{NP} -vollständiger Probleme

Schnittebenenverfahren

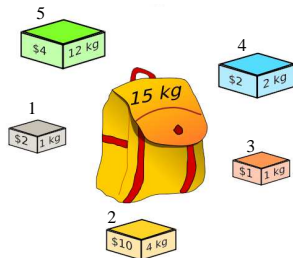
Kombinatorische Schnitte

Branch and Cut

Branch and Price and Cut

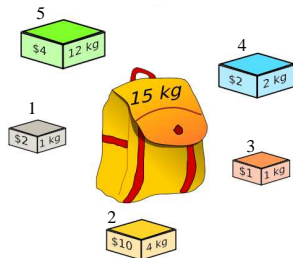
Dynamic Programming

Bezeichnen wir mit $R(b', i)$ den maximalen Nutzen eines Rucksacks mit Kapazität b' , der mit den Items $\{1, 2, \dots, i\}$ gepackt wird, so ist



Dynamic Programming

Bezeichnen wir mit $R(b', i)$ den maximalen Nutzen eines Rucksacks mit Kapazität b' , der mit den Items $\{1, 2, \dots, i\}$ gepackt wird, so ist



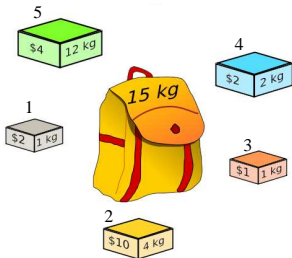
$$R(b', i) = \max\{R(b', i - 1), R(b' - a_i, i - 1) + c_i\}$$

$$R(5, 2) = 12, R(8, 3) = R(6, 3) = R(5, 2) + c_3 = 13,$$

$$R(8, 4) = R(6, 3) + c_4 = 15,$$

Dynamic Programming

Bezeichnen wir mit $R(b', i)$ den maximalen Nutzen eines Rucksacks mit Kapazität b' , der mit den Items $\{1, 2, \dots, i\}$ gepackt wird, so ist



$$R(b', i) = \max\{R(b', i - 1), R(b' - a_i, i - 1) + c_i\}$$

$$R(5, 2) = 12, R(8, 3) = R(6, 3) = R(5, 2) + c_3 = 13,$$

$$R(8, 4) = R(6, 3) + c_4 = 15,$$

$$R(15, 5) = \max\{R(3, 4) + 4, R(15, 4)\} = 15.$$

Outline

NP und pseudopolynomielle Probleme

Entscheidungsprobleme

Warum Probleme in \mathcal{NP} nicht a priori schwer sind

Pseudopolynomielle Probleme

Facetten jagen

Facetten \mathcal{NP} -vollständiger Probleme

Schnittebenenverfahren

Kombinatorische Schnitte

Branch and Cut

Branch and Price and Cut

Egon Balas “Facets of the Knapsack Polytope”

A necessary and sufficient condition is given for an inequality with coefficients 0 or 1 to define a facet of the knapsack polytope, i.e., of the convex hull of 0–1 points satisfying a given linear inequality. A sufficient condition is also established for a larger class of inequalities (with coefficients not restricted to 0 and 1) to define a facet for the same polytope, and a procedure is given for generating all facets in the above two classes. The procedure can be viewed as a way of generating cutting planes for 0–1 programs.

Egon Balas “Facets of the Knapsack Polytope”

A necessary and sufficient condition is given for an inequality with coefficients 0 or 1 to define a facet of the knapsack polytope, i.e., of the convex hull of 0–1 points satisfying a given linear inequality. A sufficient condition is also established for a larger class of inequalities (with coefficients not restricted to 0 and 1) to define a facet for the same polytope, and a procedure is given for generating all facets in the above two classes. The procedure can be viewed as a way of generating cutting planes for 0–1 programs.

Egon Balas “Facets of the Knapsack Polytope”

A necessary and sufficient condition is given for an inequality with coefficients 0 or 1 to define a facet of the knapsack polytope, i.e., of the convex hull of 0–1 points satisfying a given linear inequality. A sufficient condition is also established for a larger class of inequalities (with coefficients not restricted to 0 and 1) to define a facet for the same polytope, and a procedure is given for generating all facets in the above two classes. The procedure can be viewed as a way of generating cutting planes for 0–1 programs.

Egon Balas “Facets of the Knapsack Polytope”

A necessary and sufficient condition is given for an inequality with coefficients 0 or 1 to define a facet of the knapsack polytope, i.e., of the convex hull of 0–1 points satisfying a given linear inequality. A sufficient condition is also established for a larger class of inequalities (with coefficients not restricted to 0 and 1) to define a facet for the same polytope, and a procedure is given for generating all facets in the above two classes. The procedure can be viewed as a way of generating cutting planes for 0–1 programs.

Beobachtung (Edmonds '68?)

Es gibt für kein Polytop P_I eines \mathcal{NP} -vollständigen Problems eine explizite Beschreibung aller Facetten, es sei denn $\mathcal{NP} = \text{co-}\mathcal{NP}$.

Egon Balas “Facets of the Knapsack Polytope”

Beobachtung (Edmonds '68?)

Es gibt für kein Polytop P_I eines \mathcal{NP} -vollständigen Problems eine explizite Beschreibung aller Facetten, es sei denn $\mathcal{NP} = \text{co-}\mathcal{NP}$.

Beweis:

Wir haben zu zeigen, dass die Frage: „Gibt es eine Packung des Rucksacks mit Wert 16\$“ mit **Hilfe von außen** in Polynomialzeit verneint werden kann, wenn man die Facetten des Knapsack-Polytops kennt.

Egon Balas “Facets of the Knapsack Polytope”

Beobachtung (Edmonds '68?)

Es gibt für kein Polytop P_I eines \mathcal{NP} -vollständigen Problems eine explizite Beschreibung aller Facetten, es sei denn $\mathcal{NP} = \text{co-}\mathcal{NP}$.

Beweis:

Wir haben zu zeigen, dass die Frage: „Gibt es eine Packung des Rucksacks mit Wert 16\$“ mit **Hilfe von außen** in Polynomialzeit verneint werden kann, wenn man die Facetten des Knapsack-Polytops kennt. Da $\sum_{j=1}^n c_j x_j \leq 15$ eine **gültige Ungleichung** für das Polytop ist, kann man diese durch **positive Linearkombinationen von Facettenungleichungen** herleiten.



Egon Balas “Facets of the Knapsack Polytope”

Beobachtung (Edmonds '68?)

Es gibt für kein Polytop P_I eines \mathcal{NP} -vollständigen Problems eine explizite Beschreibung aller Facetten, es sei denn $\mathcal{NP} = \text{co-}\mathcal{NP}$.

Beweis:

Wir haben zu zeigen, dass die Frage: „Gibt es eine Packung des Rucksacks mit Wert 16\$“ mit **Hilfe von außen** in Polynomialzeit verneint werden kann, wenn man die Facetten des Knapsack-Polytops kennt. Da $\sum_{j=1}^n c_j x_j \leq 15$ eine **gültige Ungleichung** für das Polytop ist, kann man diese durch **positive Linearkombinationen von Facettenungleichungen** herleiten. Diese Facettenungleichungen und die Koeffizienten werden als Hinweis von außen gegeben.

Typen von Facetten

Erinnerung (Satz von Minkowski)

Jedes Polytop P , lässt sich durch ein Ungleichungssystem beschreiben. Ungleichungen, die zu einer **Facette** gehören, nennen wir selber Facetten.

Typen von Facetten

Erinnerung (Satz von Minkowski)

Jedes Polytop P_I lässt sich durch ein Ungleichungssystem beschreiben. Ungleichungen, die zu einer **Facette** gehören, nennen wir selber Facetten.

Wir unterscheiden bei Polytopen P_I von \mathcal{NP} -vollständigen Problemen zwischen Facetten, die

Typen von Facetten

Erinnerung (Satz von Minkowski)

Jedes Polytop P_I lässt sich durch ein Ungleichungssystem beschreiben. Ungleichungen, die zu einer **Facette** gehören, nennen wir selber Facetten.

Wir unterscheiden bei Polytopen P_I von \mathcal{NP} -vollständigen Problemen zwischen Facetten, die

- wir in **Polynomialzeit separieren** können,

Typen von Facetten

Erinnerung (Satz von Minkowski)

Jedes Polytop P_I lässt sich durch ein Ungleichungssystem beschreiben. Ungleichungen, die zu einer **Facette** gehören, nennen wir selber Facetten.

Wir unterscheiden bei Polytopen P_I von \mathcal{NP} -vollständigen Problemen zwischen Facetten, die

- wir in **Polynomialzeit separieren** können,
- wir kennen, wir aber nicht in Polynomialzeit separieren können,

Typen von Facetten

Erinnerung (Satz von Minkowski)

Jedes Polytop P_I lässt sich durch ein Ungleichungssystem beschreiben. Ungleichungen, die zu einer **Facette** gehören, nennen wir selber Facetten.

Wir unterscheiden bei Polytopen P_I von \mathcal{NP} -vollständigen Problemen zwischen Facetten, die

- wir in **Polynomialzeit separieren** können,
- wir kennen, wir aber nicht in Polynomialzeit separieren können,
- wir kennen, bei denen das Separationsproblem selbst wieder \mathcal{NP} -vollständig ist,

Typen von Facetten

Erinnerung (Satz von Minkowski)

Jedes Polytop P_I lässt sich durch ein Ungleichungssystem beschreiben. Ungleichungen, die zu einer **Facette** gehören, nennen wir selber Facetten.

Wir unterscheiden bei Polytopen P_I von \mathcal{NP} -vollständigen Problemen zwischen Facetten, die

- wir in **Polynomialzeit separieren** können,
- wir kennen, wir aber nicht in Polynomialzeit separieren können,
- wir kennen, bei denen das Separationsproblem selbst wieder \mathcal{NP} -vollständig ist,
- wir nicht kennen, bzw. nicht in Polynomialzeit verifizieren können.

Outline

NP und pseudopolynomielle Probleme

Entscheidungsprobleme

Warum Probleme in \mathcal{NP} nicht a priori schwer sind

Pseudopolynomielle Probleme

Facetten jagen

Facetten \mathcal{NP} -vollständiger Probleme

Schnittebenenverfahren

Kombinatorische Schnitte

Branch and Cut

Branch and Price and Cut

Schnittebenen

Schnittebenenverfahren kombiniert mit **Branch & Bound** sind die erfolgreichsten Methoden, IPs zu lösen.

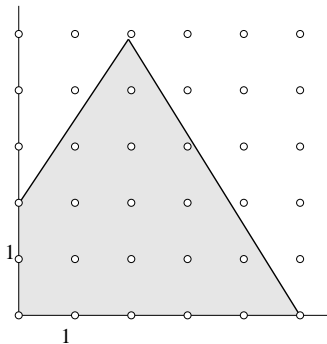
Die Idee von Schnittebenenverfahren ist die Folgende:



Schnittebenen

Schnittebenenverfahren kombiniert mit **Branch & Bound** sind die erfolgreichsten Methoden, IPs zu lösen.

Die Idee von Schnittebenenverfahren ist die Folgende: Ausgehend von einer Modellierung P_1 des Problems

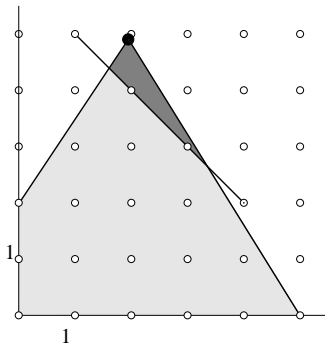




Schnittebenen

Schnittebenenverfahren kombiniert mit **Branch & Bound** sind die erfolgreichsten Methoden, IPs zu lösen.

Die Idee von Schnittebenenverfahren ist die Folgende: Ausgehend von einer Modellierung P_1 des Problems mit einer fraktionalen Optimallösung x_1 , finde Ungleichung $ax \leq b$, die für $x \in P_1$ gültig ist mit $ax_1 > b$. Füge diese zum Modell hinzu und erhalte neues Modell P_2 .





Generisches Schnittebenenverfahren

Eingabe: $A \in \mathbb{Z}^{m \times n}$, $b \in \mathbb{Z}^m$, $c \in \mathbb{Z}^n$.

Generisches Schnittebenenverfahren

Eingabe: $A \in \mathbb{Z}^{m \times n}$, $b \in \mathbb{Z}^m$, $c \in \mathbb{Z}^n$.

Ausgabe: $x^* \in \mathbb{Z}^n$ mit $c^\top x^* = \max\{c^\top x \mid Ax \leq b, x \in \mathbb{Z}_+^n\}$.

Generisches Schnittebenenverfahren

Eingabe: $A \in \mathbb{Z}^{m \times n}$, $b \in \mathbb{Z}^m$, $c \in \mathbb{Z}^n$.

Ausgabe: $x^* \in \mathbb{Z}^n$ mit $c^\top x^* = \max\{c^\top x \mid Ax \leq b, x \in \mathbb{Z}_+^n\}$.

Verfahren: Sei $P = P(A, b)$. Iteriere

Generisches Schnittebenenverfahren

Eingabe: $A \in \mathbb{Z}^{m \times n}$, $b \in \mathbb{Z}^m$, $c \in \mathbb{Z}^n$.

Ausgabe: $x^* \in \mathbb{Z}^n$ mit $c^\top x^* = \max\{c^\top x \mid Ax \leq b, x \in \mathbb{Z}_+^n\}$.

Verfahren: Sei $P = P(A, b)$. Iteriere

- Löse das lineare Programm $x^* := \max_{x \in P} c^\top x$.

Generisches Schnittebenenverfahren

Eingabe: $A \in \mathbb{Z}^{m \times n}$, $b \in \mathbb{Z}^m$, $c \in \mathbb{Z}^n$.

Ausgabe: $x^* \in \mathbb{Z}^n$ mit $c^\top x^* = \max\{c^\top x \mid Ax \leq b, x \in \mathbb{Z}_+^n\}$.

Verfahren: Sei $P = P(A, b)$. Iteriere

- Löse das lineare Programm $x^* := \max_{x \in P} c^\top x$.
- Falls $x^* \in \mathbb{Z}^n$. Stop, gib x^* aus.

Generisches Schnittebenenverfahren

Eingabe: $A \in \mathbb{Z}^{m \times n}$, $b \in \mathbb{Z}^m$, $c \in \mathbb{Z}^n$.

Ausgabe: $x^* \in \mathbb{Z}^n$ mit $c^\top x^* = \max\{c^\top x \mid Ax \leq b, x \in \mathbb{Z}_+^n\}$.

Verfahren: Sei $P = P(A, b)$. Iteriere

- Löse das lineare Programm $x^* := \max_{x \in P} c^\top x$.
- Falls $x^* \in \mathbb{Z}^n$. Stop, gib x^* aus.
- Falls $x^* \notin \mathbb{Z}^n$, löse das Separationsproblem und finde neue Ungleichung $a^\top x \leq \beta$.

Generisches Schnittebenenverfahren

Eingabe: $A \in \mathbb{Z}^{m \times n}$, $b \in \mathbb{Z}^m$, $c \in \mathbb{Z}^n$.

Ausgabe: $x^* \in \mathbb{Z}^n$ mit $c^\top x^* = \max\{c^\top x \mid Ax \leq b, x \in \mathbb{Z}_+^n\}$.

Verfahren: Sei $P = P(A, b)$. Iteriere

- Löse das lineare Programm $x^* := \max_{x \in P} c^\top x$.
- Falls $x^* \in \mathbb{Z}^n$. Stop, gib x^* aus.
- Falls $x^* \notin \mathbb{Z}^n$, löse das Separationsproblem und finde neue Ungleichung $a^\top x \leq \beta$.
- Setze $P := P \cap \{x \in \mathbb{R}^n \mid a^\top x \leq \beta\}$ und iteriere weiter.

In diesem speziellen Falle ist das Separationsproblem stets lösbar, z.B. mittels **Chvátal-Gomory-Schnitten**.

Chvátal-Gomory-Schnitte

Satz

Ist $u \geq 0$ und $Ax \leq b$ gültig für P_I so auch

$$\sum_{j=1}^m \lfloor u^\top A_{.j} \rfloor x_j \leq \lfloor u^\top b \rfloor. \quad (1)$$

Chvátal-Gomory-Schnitte

Satz

Ist $u \geq 0$ und $Ax \leq b$ gültig für P_I so auch

$$\sum_{j=1}^m \lfloor u^T A_{.j} \rfloor x_j \leq \lfloor u^T b \rfloor. \quad (1)$$

Tatsächlich erhalten wir auf „diese Weise“ auf Dauer **alle** gültigen Ungleichungen.

Beispiel für einen Chvátal-Gomory-Schnitt

$$\begin{array}{rcllcl}
 \max & x_1 & - & x_2 & & \\
 \text{unter} & 7x_1 & - & 2x_2 & \leq & 14 \\
 & & & x_2 & \leq & 3 \\
 & 2x_1 & - & 2x_2 & \leq & 3 \\
 & & & & & x_1, x_2 \in \mathbb{Z}_+
 \end{array}$$

wir lösen das Lineare Programm

Beispiel für einen Chvátal-Gomory-Schnitt

$$\begin{array}{rcllcl}
 \max & x_1 & - & x_2 & & \\
 \text{unter} & 7x_1 & - & 2x_2 & \leq & 14 \\
 & & & x_2 & \leq & 3 \\
 & 2x_1 & - & 2x_2 & \leq & 3 \\
 & & & & & x_1, x_2 \in \mathbb{Z}_+
 \end{array}$$

wir lösen das Lineare Programm

1	-1	0	0	0	0	0	0	0	0	-0.5	-1.5
7	-2	1	0	0	14	0	5	1	0	-3.5	3.5
0	1	0	1	0	3	0	1	0	1	0	3
2	-2	0	0	1	3	1	-1	0	0	0.5	1.5



Beispiel für einen Chvátal-Gomory-Schnitt

$$\begin{array}{rcll}
 \max & x_1 & - & x_2 \\
 \text{unter} & 7x_1 & - & 2x_2 \leq 14 \\
 & & & x_2 \leq 3 \\
 & 2x_1 & - & 2x_2 \leq 3 \\
 & & & x_1, x_2 \in \mathbb{Z}_+
 \end{array}$$

wir lösen das Lineare Programm

$$\begin{array}{cccccc|c}
 1 & -1 & 0 & 0 & 0 & 0 \\
 7 & -2 & 1 & 0 & 0 & 14 \\
 0 & 1 & 0 & 1 & 0 & 3 \\
 \boxed{2} & -2 & 0 & 0 & 1 & 3
 \end{array}
 \quad
 \begin{array}{cccccc|c}
 0 & 0 & 0 & 0 & -0.5 & -1.5 \\
 0 & 5 & 1 & 0 & -3.5 & 3.5 \\
 0 & 1 & 0 & 1 & 0 & 3 \\
 1 & -1 & 0 & 0 & 0.5 & 1.5
 \end{array}$$

aus der letzten Zeile schließen wir nun $x_1 - x_2 \leq 1$



Beispiel für einen Chvátal-Gomory-Schnitt

$$\begin{array}{rcllcl}
 \max & x_1 & - & x_2 & & \\
 \text{unter} & 7x_1 & - & 2x_2 & \leq & 14 \\
 & & & x_2 & \leq & 3 \\
 & 2x_1 & - & 2x_2 & \leq & 3 \\
 & & & & & x_1, x_2 \in \mathbb{Z}_+
 \end{array}$$

wir lösen das Lineare Programm

$$\begin{array}{cccccc|c}
 1 & -1 & 0 & 0 & 0 & 0 \\
 7 & -2 & 1 & 0 & 0 & 14 \\
 0 & 1 & 0 & 1 & 0 & 3 \\
 \boxed{2} & -2 & 0 & 0 & 1 & 3 \\
 \hline
 0 & 0 & 0 & 0 & -0.5 & -1.5 \\
 0 & 5 & 1 & 0 & -3.5 & 3.5 \\
 0 & 1 & 0 & 1 & 0 & 3 \\
 1 & -1 & 0 & 0 & 0.5 & 1.5
 \end{array}$$

aus der letzten Zeile schließen wir nun $x_1 - x_2 \leq 1 \Rightarrow y_3 \geq 1$.

Beispiel für einen Chvátal-Gomory-Schnitt

$$\begin{array}{cccccc|c}
 1 & -1 & 0 & 0 & 0 & 0 \\
 \hline
 7 & -2 & 1 & 0 & 0 & 14 \\
 0 & 1 & 0 & 1 & 0 & 3 \\
 \boxed{2} & -2 & 0 & 0 & 1 & 3
 \end{array}
 \qquad
 \begin{array}{cccccc|c}
 0 & 0 & 0 & 0 & -0.5 & -1.5 \\
 \hline
 0 & 5 & 1 & 0 & -3.5 & 3.5 \\
 0 & 1 & 0 & 1 & 0 & 3 \\
 1 & -1 & 0 & 0 & \color{red}{0.5} & \color{red}{1.5}
 \end{array}$$

aus der letzten Zeile schließen wir nun $x_1 - x_2 \leq 1 \Rightarrow y_3 \geq 1$.

$$\begin{array}{cccccc|c}
 0 & 0 & 0 & 0 & -0.5 & 0 & -1.5 \\
 \hline
 0 & 5 & 1 & 0 & -3.5 & 0 & 3.5 \\
 0 & 1 & 0 & 1 & 0 & 0 & 3 \\
 1 & -1 & 0 & 0 & 0.5 & 0 & 1.5 \\
 0 & 0 & 0 & 0 & \boxed{-1} & 1 & -1
 \end{array}
 \qquad
 \begin{array}{cccccc|c}
 0 & 0 & 0 & 0 & 0 & -0.5 & -1 \\
 \hline
 0 & 5 & 1 & 0 & 0 & -3.5 & 7 \\
 0 & 1 & 0 & 1 & 0 & 0 & 3 \\
 1 & -1 & 0 & 0 & 0 & 0.5 & 1 \\
 0 & 0 & 0 & 0 & 1 & -1 & 1
 \end{array}$$

Outline

NP und pseudopolynomielle Probleme

Entscheidungsprobleme

Warum Probleme in \mathcal{NP} nicht a priori schwer sind

Pseudopolynomielle Probleme

Facetten jagen

Facetten \mathcal{NP} -vollständiger Probleme

Schnittebenenverfahren

Kombinatorische Schnitte

Branch and Cut

Branch and Price and Cut

Schnittebenen

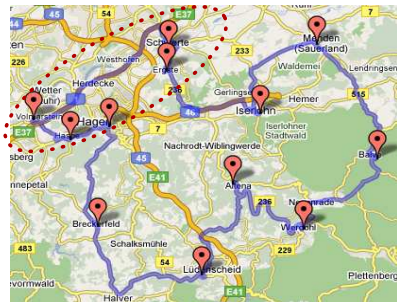
Obwohl Gomory-Chvátal-Schnitte einen **endlichen** Algorithmus liefern, werden sie in der Praxis „nur im Notfall“ eingesetzt.



Schnittebenen

Obwohl Gomory-Chvátal-Schnitte einen **endlichen** Algorithmus liefern, werden sie in der Praxis „nur im Notfall“ eingesetzt.

Wichtiger sind zunächst **kombinatorisch** motivierte **Schnitte**. Kennengelernt haben wir einen solchen Typ bei Matching. Analoges gilt für das Rundreiseproblem.





Das symmetrische TSP

$$\begin{aligned}
 \min \quad & \sum_{i=1}^n \sum_{j=1}^n C_{ij} X_{ij} \\
 & \sum_{(ij) \in \delta(v)} X_{ij} = 2 \quad \forall v \in V \\
 & \sum_{(ij) \in \delta(S)} X_{ij} \geq 2 \quad \forall \emptyset \neq S \neq V \\
 & X_{ij} \in \{0, 1\}
 \end{aligned}$$

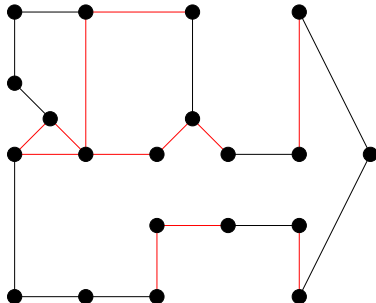


Dantzig, Fulkerson und Johnson 1954

Beispiel einer Ungleichung auf einem Graphen mit 20 Knoten, die wir nicht in Polynomialzeit verifizieren können.

$$\sum_{\text{rote und schwarze Kanten}} x_{ij} \leq 19.$$

Der Graph der roten und schwarzen Kanten hat keinen Hamiltonkreis. Das Hamiltonkreisproblem ist \mathcal{NP} -vollständig.

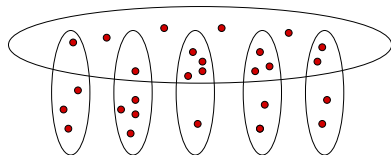




Kammungleichungen (Grötschel & Padberg 1979)

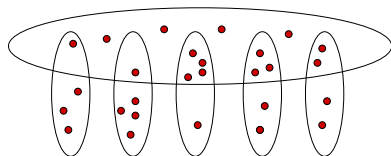
Kammungleichungen (Grötschel & Padberg 1979)

Ein **Kamm** besteht aus einer Knotenmenge H (wie **handle**) und einer ungeraden Anzahl paarweise disjunkter **Zähne** T_1, \dots, T_p , $p \geq 3$ mit $\forall j : H \cap T_j \neq \emptyset \neq T_j \cap H$. Dann gilt die **Kammungleichung**



Kammungleichungen (Grötschel & Padberg 1979)

Ein **Kamm** besteht aus einer Knotenmenge H (wie **handle**) und einer ungeraden Anzahl paarweise disjunkter **Zähne** T_1, \dots, T_p , $p \geq 3$ mit $\forall j : H \cap T_j \neq \emptyset \neq T_j \cap H$. Dann gilt die **Kammungleichung**



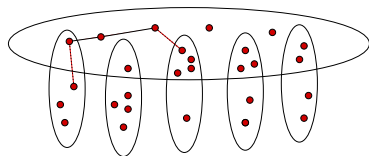
$$\sum_{(ij) \in H} x_{ij} + \sum_{k=1}^p \sum_{(ij) \in T_k} x_{ij} \leq |H| + \sum_{k=1}^p |T_k| - \lceil \frac{3p}{2} \rceil.$$

Beweis

Wir müssen zeigen, dass Rundtouren die Ungleichung stets erfüllen.

Kammungleichungen (Grötschel & Padberg 1979)

Ein **Kamm** besteht aus einer Knotenmenge H (wie **handle**) und einer ungeraden Anzahl paarweise disjunkter **Zähne** T_1, \dots, T_p , $p \geq 3$ mit $\forall j : H \cap T_j \neq \emptyset \neq T_j \cap H$. Dann gilt die **Kammungleichung**



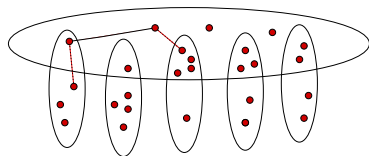
$$\sum_{(ij) \in H} x_{ij} + \sum_{k=1}^p \sum_{(ij) \in T_k} x_{ij} \leq |H| + \sum_{k=1}^p |T_k| - \lceil \frac{3p}{2} \rceil.$$

Beweis

O.E. liegen keine Knoten in $H \setminus \bigcup T_j$.

Kammungleichungen (Grötschel & Padberg 1979)

Ein **Kamm** besteht aus einer Knotenmenge H (wie **handle**) und einer ungeraden Anzahl paarweise disjunkter **Zähne** T_1, \dots, T_p , $p \geq 3$ mit $\forall j : H \cap T_j \neq \emptyset \neq T_j \cap H$. Dann gilt die **Kammungleichung**



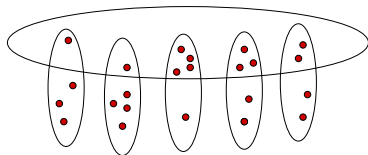
$$\sum_{(ij) \in H} x_{ij} + \sum_{k=1}^p \sum_{(ij) \in T_k} x_{ij} \leq |H| + \sum_{k=1}^p |T_k| - \lceil \frac{3p}{2} \rceil.$$

Beweis

O.E. liegen keine Knoten in $H \setminus \bigcup T_j$.

Kammungleichungen (Grötschel & Padberg 1979)

Ein **Kamm** besteht aus einer Knotenmenge H (wie **handle**) und einer ungeraden Anzahl paarweise disjunkter **Zähne** T_1, \dots, T_p , $p \geq 3$ mit $\forall j : H \cap T_j \neq \emptyset \neq T_j \cap H$. Dann gilt die **Kammungleichung**



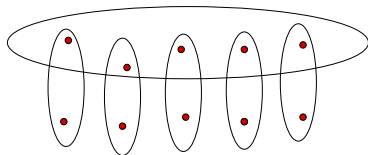
$$\sum_{(ij) \in H} x_{ij} + \sum_{k=1}^p \sum_{(ij) \in T_k} x_{ij} \leq |H| + \sum_{k=1}^p |T_k| - \lceil \frac{3p}{2} \rceil.$$

Beweis

O.E. liegen keine Knoten in $H \setminus \bigcup T_j$.

Kammungleichungen (Grötschel & Padberg 1979)

Ein **Kamm** besteht aus einer Knotenmenge H (wie **handle**) und einer ungeraden Anzahl paarweise disjunkter **Zähne** T_1, \dots, T_p , $p \geq 3$ mit $\forall j : H \cap T_j \neq \emptyset \neq T_j \cap H$. Dann gilt die **Kammungleichung**



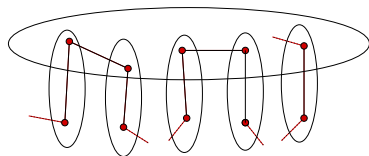
$$\sum_{(ij) \in H} x_{ij} + \sum_{k=1}^p \sum_{(ij) \in T_k} x_{ij} \leq |H| + \sum_{k=1}^p |T_k| - \lceil \frac{3p}{2} \rceil.$$

Beweis

O.E. liegen genau zwei Knoten in jedem T_j .

Kammungleichungen (Grötschel & Padberg 1979)

Ein **Kamm** besteht aus einer Knotenmenge H (wie **handle**) und einer ungeraden Anzahl paarweise disjunkter **Zähne** T_1, \dots, T_p , $p \geq 3$ mit $\forall j : H \cap T_j \neq \emptyset \neq T_j \cap H$. Dann gilt die **Kammungleichung**



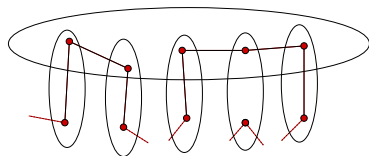
$$\sum_{(ij) \in H} x_{ij} + \sum_{k=1}^p \sum_{(ij) \in T_k} x_{ij} \leq |H| + \sum_{k=1}^p |T_k| - \lceil \frac{3p}{2} \rceil.$$

Beweis

Die maximale Anzahl Kanten, die links gezählt werden ist $p + \lfloor \frac{p}{2} \rfloor$.

Kammungleichungen (Grötschel & Padberg 1979)

Ein **Kamm** besteht aus einer Knotenmenge H (wie **handle**) und einer ungeraden Anzahl paarweise disjunkter **Zähne** T_1, \dots, T_p , $p \geq 3$ mit $\forall j : H \cap T_j \neq \emptyset \neq T_j \cap H$. Dann gilt die **Kammungleichung**



$$\sum_{(ij) \in H} x_{ij} + \sum_{k=1}^p \sum_{(ij) \in T_k} x_{ij} \leq |H| + \sum_{k=1}^p |T_k| - \lceil \frac{3p}{2} \rceil.$$

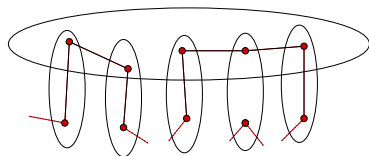
Beweis

Die maximale Anzahl Kanten, die links gezählt werden ist $p + \lfloor \frac{p}{2} \rfloor$.



Kammungleichungen (Grötschel & Padberg 1979)

Ein **Kamm** besteht aus einer Knotenmenge H (wie **handle**) und einer ungeraden Anzahl paarweise disjunkter **Zähne** T_1, \dots, T_p , $p \geq 3$ mit $\forall j : H \cap T_j \neq \emptyset \neq T_j \cap H$. Dann gilt die **Kammungleichung**



$$\sum_{(ij) \in H} x_{ij} + \sum_{k=1}^p \sum_{(ij) \in T_k} x_{ij} \leq |H| + \sum_{k=1}^p |T_k| - \lceil \frac{3p}{2} \rceil.$$

Beweis

$$3p - \lceil \frac{3p}{2} \rceil = p + \lfloor \frac{p}{2} \rfloor.$$

Kammungleichungen (Grötschel & Padberg 1979)

Ein **Kamm** besteht aus einer Knotenmenge H (wie **handle**) und einer ungeraden Anzahl paarweise disjunkter **Zähne** T_1, \dots, T_p , $p \geq 3$ mit $\forall j : H \cap T_j \neq \emptyset \neq T_j \cap H$. Dann gilt die **Kammungleichung**

$$\sum_{(ij) \in H} x_{ij} + \sum_{k=1}^p \sum_{(ij) \in T_k} x_{ij} \leq |H| + \sum_{k=1}^p |T_k| - \lceil \frac{3p}{2} \rceil.$$

Die Komplexität der Separation von Kammungleichungen scheint im allgemeinen Fall noch **offen** zu sein.

Outline

NP und pseudopolynomielle Probleme

Entscheidungsprobleme

Warum Probleme in \mathcal{NP} nicht a priori schwer sind

Pseudopolynomielle Probleme

Facetten jagen

Facetten \mathcal{NP} -vollständiger Probleme

Schnittebenenverfahren

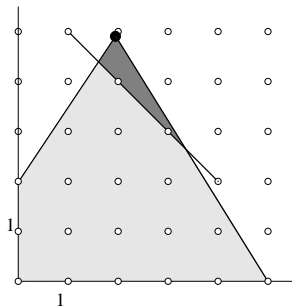
Kombinatorische Schnitte

Branch and Cut

Branch and Price and Cut

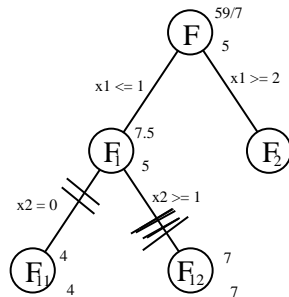
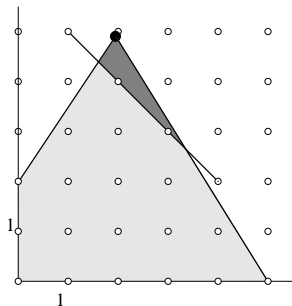
Branch and Cut

Die Schnittebenenverfahren kombiniert man mit Branch & Bound.



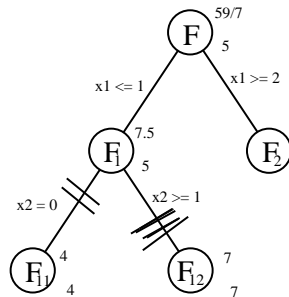
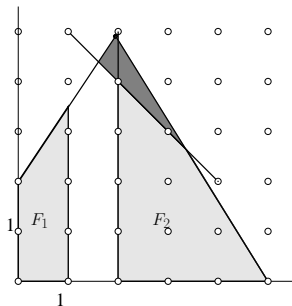
Branch and Cut

Die Schnittebenenverfahren kombiniert man mit Branch & Bound.



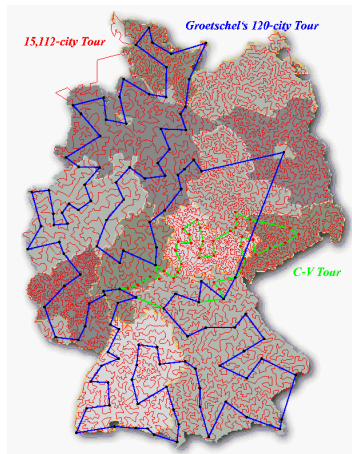
Branch and Cut

Die Schnittebenenverfahren kombiniert man mit Branch & Bound.



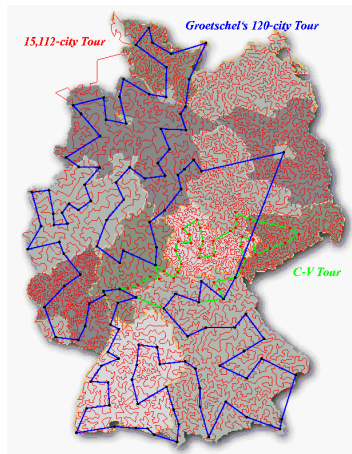
Das TSP als Referenzproblem

1954 Dantzig, Fulkerson &
Johnson: 49 Städte in USA



Das TSP als Referenzproblem

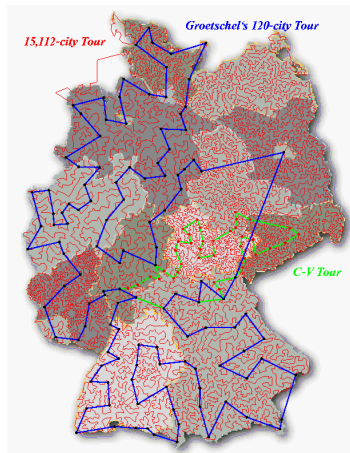
- 1954 Dantzig, Fulkerson & Johnson: 49 Städte in USA
- 1977 Grötschel 120 Städte (Deutscher General Atlas)





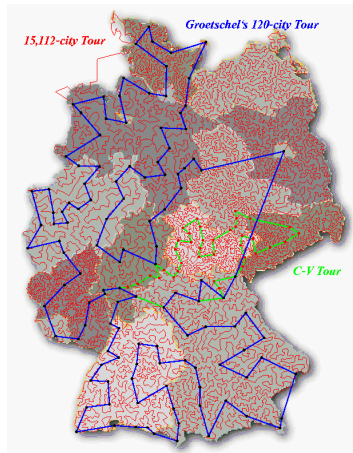
Das TSP als Referenzproblem

- 1954 Dantzig, Fulkerson & Johnson: 49 Städte in USA
- 1977 Grötschel 120 Städte (Deutscher General Atlas)
- 2001 Applegate, Bixby, Chvátal, Cook (ABCC): 15112 Städte (22,6 Prozessorjahre auf 110 Alpha 500 MHz Prozessoren).



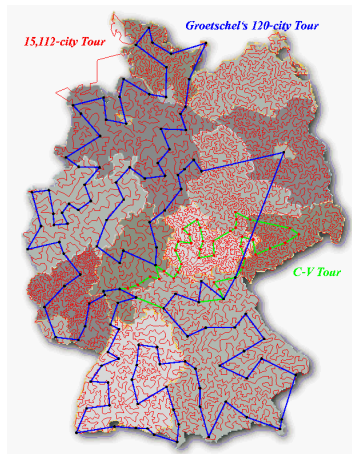
Das TSP als Referenzproblem

Alle jüngsten Rekorde wurden von ABCC mit dem Programm Concorde erzielt. Derzeitiger Rekord (2006) liegt bei 85,900 Städten in einem VLSI Problem.



Das TSP als Referenzproblem

Alle jüngsten Rekorde wurden von ABCC mit dem Programm Concorde erzielt. Derzeitiger Rekord (2006) liegt bei 85,900 Städten in einem VLSI Problem. Damit sind alle Probleme aus der TSPLIB von Günter Reinelt (Heidelberg) optimal gelöst.



Column Generation

Seien T_1, \dots, T_k die Menge aller **zulässigen Touren** die vom Depot ausgehen und die Kapazitätsbeschränkung berücksichtigen.

Column Generation

Seien T_1, \dots, T_k die Menge aller **zulässigen Touren** die vom Depot ausgehen und die Kapazitätsbeschränkung berücksichtigen. Sei $\chi(T_i) \in \{0, 1\}^{V_0}$ der Inzidenzvektor, der anzeigt, welche Kunden von T_i bedient werden. Seien schließlich $c(T_i)$ die Kosten von Tour T_i .

Column Generation

Seien T_1, \dots, T_k die Menge aller **zulässigen Touren** die vom Depot ausgehen und die Kapazitätsbeschränkung berücksichtigen. Sei $\chi(T_i) \in \{0, 1\}^{V_0}$ der Inzidenzvektor, der anzeigt, welche Kunden von T_i bedient werden. Seien schließlich $c(T_i)$ die Kosten von Tour T_i . Wir setzen $x_{T_i} = 1$, wenn wir **Tour T_i fahren** und $x_{T_i} = 0$ sonst.

Dann haben wir folgendes Boolesches Programm für das VRCP

Column Generation

Seien T_1, \dots, T_k die Menge aller **zulässigen Touren** die vom Depot ausgehen und die Kapazitätsbeschränkung berücksichtigen. Sei $\chi(T_i) \in \{0, 1\}^{V_0}$ der Inzidenzvektor, der anzeigt, welche Kunden von T_i bedient werden. Seien schließlich $c(T_i)$ die Kosten von Tour T_i . Wir setzen $x_{T_i} = 1$, wenn wir **Tour T_i fahren** und $x_{T_i} = 0$ sonst.

Dann haben wir folgendes Boolesches Programm für das VRCP

$$\begin{aligned} \min \quad & \sum_{i=1}^k c(T_i) x_{T_i} \\ & \sum_{i=1}^k \chi(T_i) x_{T_i} \geq \mathbf{1} \\ & x_{T_i} \in \{0, 1\} \end{aligned}$$

Column Generation II

Wir haben also nun ein Problem mit mehr als exponentiell vielen Variablen.

- Diese Variablen betrachtet man nicht alle, sondern man hält einen Pool von „aussichtsreichen Touren“ und löst das Problem mit diesen.

Column Generation II

Wir haben also nun ein Problem mit mehr als exponentiell vielen Variablen.

- Diese Variablen betrachtet man nicht alle, sondern man hält einen Pool von „aussichtsreichen Touren“ und löst das Problem mit diesen.
- Hat man ein solches Problem optimal gelöst, sucht man nach weiteren Touren, deren Variable positive reduzierte Kosten im Tableau hat. Dieses Problem nennt man das Pricing-Problem.

Column Generation II

Wir haben also nun ein Problem mit mehr als exponentiell vielen Variablen.

- Diese Variablen betrachtet man nicht alle, sondern man hält einen Pool von „aussichtsreichen Touren“ und löst das Problem mit diesen.
- Hat man ein solches Problem optimal gelöst, sucht man nach weiteren Touren, deren Variable positive reduzierte Kosten im Tableau hat. Dieses Problem nennt man das Pricing-Problem.
- Gibt es keine solche Tour ist das Problem optimal gelöst.



Column Generation II

Wir haben also nun ein Problem mit mehr als exponentiell vielen Variablen.

- Diese Variablen betrachtet man nicht alle, sondern man hält einen Pool von „aussichtsreichen Touren“ und löst das Problem mit diesen.
- Hat man ein solches Problem optimal gelöst, sucht man nach weiteren Touren, deren Variable positive reduzierte Kosten im Tableau hat. Dieses Problem nennt man das Pricing-Problem.
- Gibt es keine solche Tour ist das Problem optimal gelöst.
- Um Ganzzahligkeit zu erreichen, kombiniert man auch dies mit Branch& Bound und nennt dies **Branch & Price**.

ColumnGeneration III

Allgemein verwendet man Column Generation insbesondere bei Problemen, die ein Überdeckungsteilproblem haben.

Column Generation alleine scheint beim kapazitierten Tourenplanungsproblem nicht konkurrenzfähig zu sein. In Kombination mit Schnittebenen erhält man **Branch & Price & Cut** mit dem 2005 einige bisher ungelöste Benchmarkinstanzen gelöst werden konnten.

Zusammenfassung

- Ganzzahlige Programme haben üblicherweise Struktur.

Zusammenfassung

- Ganzzahlige Programme haben üblicherweise Struktur.
- Netzwerkstrukturen liefern gutartige (Teil-)Probleme.



Zusammenfassung

- Ganzzahlige Programme haben üblicherweise Struktur.
- Netzwerkstrukturen liefern gutartige (Teil-)Probleme.
- Die Kenntnis auch weiterer gutartiger Probleme ist oft hilfreich.

Zusammenfassung

- Ganzzahlige Programme haben üblicherweise Struktur.
- Netzwerkstrukturen liefern gutartige (Teil-)Probleme.
- Die Kenntnis auch weiterer gutartiger Probleme ist oft hilfreich.
- Pack- und Sequenzierungsprobleme lassen sich häufig mit dynamischer Programmierung lösen.

Zusammenfassung

- Ganzzahlige Programme haben üblicherweise Struktur.
- Netzwerkstrukturen liefern gutartige (Teil-)Probleme.
- Die Kenntnis auch weiterer gutartiger Probleme ist oft hilfreich.
- Pack- und Sequenzierungsprobleme lassen sich häufig mit dynamischer Programmierung lösen.
- Cutting Plane Methods sind ein allgemeines und oft erfolgreiches Verfahren.

Zusammenfassung

- Ganzzahlige Programme haben üblicherweise Struktur.
- Netzwerkstrukturen liefern gutartige (Teil-)Probleme.
- Die Kenntnis auch weiterer gutartiger Probleme ist oft hilfreich.
- Pack- und Sequenzierungsprobleme lassen sich häufig mit dynamischer Programmierung lösen.
- Cutting Plane Methods sind ein allgemeines und oft erfolgreiches Verfahren.
- Das TSP hat man recht gut im Griff, das CVRP weniger.

Geschafft

Vielen Dank für Ihre
Aufmerksamkeit